

# ILCの重心系エネルギー250、350、500 GeV におけるHiggs反跳質量測定精度の評価

加速器・物理  
合同ILC夏の合宿2015

群馬県伊香保温泉 ホテル天坊  
2015年 7月 18—21日

ジャクリン ヤン (KEK 素核研)

# Leptonic channel を用いたHiggs反跳測定

@ ECM = 250 GeV, 350 GeV, and 500 GeV

Z崩壊由来のdi-leptonのkinematicsからHiggsの質量を測定  
Zの反跳質量=ヒッグス粒子の質量

Higgsの崩壊過程に依らない  
i.e. Model independent

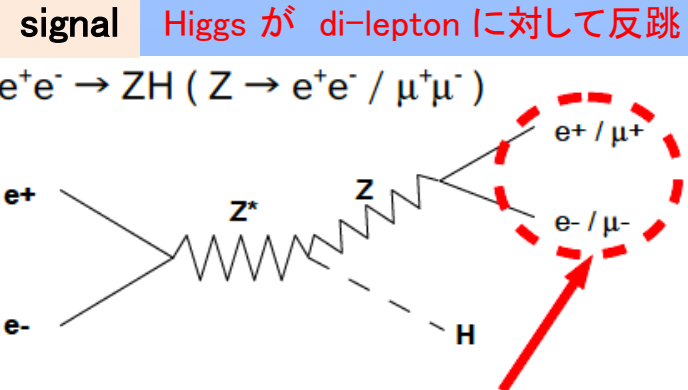
主要目的:

- Higgs 断面積 ( $\sigma_{ZH}$ ) と 質量 ( $M_H$ ) の精密測定
- 重心系エネルギー(ECM) とビーム偏極の影響を評価する  
→ ILC 実験計画の検討、加速器と測定器の最適化 に貢献する

$\sigma ZH$  は各Higgs崩壊モードの崩壊分岐比  
coupling, total width の絶対値測定への鍵  
c.f. LHC では全ての測定は  $\sigma \times BR$

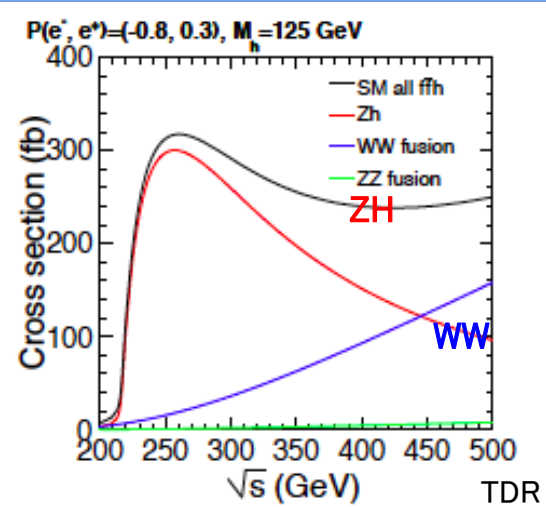
## 解析に用いたILC標準MCデータサンプル

channel	mH	ECM	L (TDR)	polarization	Detector simulation
$e^+e^- \rightarrow Zh \rightarrow \mu\mu h$	125 GeV	250 GeV	250 fb-1	$P(e^-, e^+) =$ 左巻き (-0.8, +0.3) 右巻き (+0.8, -0.3)	Full ILD (ILD_01_v05 DBD ver.)
$e^+e^- \rightarrow Zh \rightarrow eeeh$		350 GeV 500 GeV	333 fb-1 500 fb-1		



Higgsの4元運動量

$$M_X^2 = (p_{CM} - (p_{\mu^+} + p_{\mu^-}))^2$$



## 本講演の LAYOUT

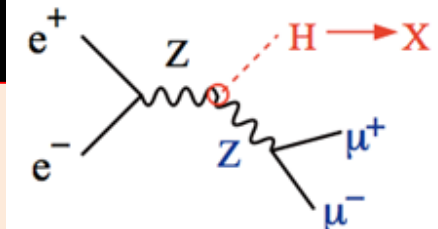
- ◆ 解析に用いるデータ選別手法の最適化
- ◆ Higgs生成断面積と質量の測定性能の評価  
→ 異なる重心系エネルギーとビーム偏極の間の比較
- ◆ Higgs崩壊モード依存性からくる系統誤差の評価
- ◆ Summary & Plans

signal / BG の特徴に合わせて解析手法を最適化する

### Signal の特徴

不変質量が Z 質量に近い

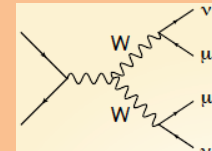
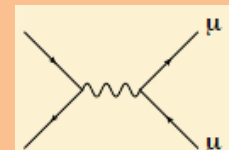
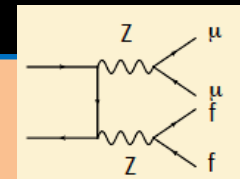
isolated energetic lepton ( $\mu$  / e) のペア



$$M_X^2 = (p_{CM} - (p_{\mu^+} + p_{\mu^-}))^2$$

### 支配的なBGの特徴

- $e^+ e^- \rightarrow Z Z \rightarrow l^+ l^- X$  : forward Z production angle
- $e^+ e^- \rightarrow \gamma Z \rightarrow \gamma l^+ l^-$  : energetic ISR  $\gamma$  which balance dilepton pt
- $e^+ e^- \rightarrow W W \rightarrow l^+ l^- \nu \bar{\nu}$  : broad  $M_{inv}$  distr.



## Lepton Pair Candidate Selection

- 反対電荷 ( $+/- 1$ )
- $E_{\text{cluster}} / P_{\text{total}} : < 0.5 (\mu) / > 0.9 (e)$
- isolation (small cone energy)**  
 → 4f\_WW\_si BG を大幅に除去
- MinvがZ質量 (91.18 GeV) に近い
- impact parameter  $|D0/\delta D0| < 5$

## Final Selection

ECM=350 GeVの場合

- $73 < \text{GeV} < M_{\text{inv}} < 120 \text{ GeV}$
- $10 \text{ GeV} < p_{\text{t,dl}} < 140 \text{ GeV}$

- $\left| \overrightarrow{P}_{t,sum} \right| \circ \left| \overrightarrow{P}_{t,g} + \overrightarrow{P}_{t,dl} \right| > 10 \text{ GeV}$

- $|\cos(\theta_{\text{missing}})| < 0.98$

- $|\cos(\theta_Z)| < 0.9$

- $100 \text{ GeV} < M_{\text{recoil}} < 160 \text{ GeV}$

- Likelihood cut**

Minv, Pt<sub>dl</sub>, CosZ  
から構成するlikelihood

## 解析手法を最適化する基準

- signal significance
- 断面積の精度
- Higgs崩壊モード非依存を保つ

### 変数の定義

- $M_{\text{inv}}$  : invariant mass of 2 muons
- $p_{\text{t,dl}}$  : pt of reconstructed lepton pair
- $p_{\text{t}}, \gamma$  : pt of most energetic photon
- $\theta_{\text{missing}}$  = polar angle of undetected particles
- $\theta_Z$  = Z production angle

- 2f ( $\mu\mu / ee$ ) BG の除去に有効
- 一番高エネのISR  $\gamma$  の情報を使う signalにバイアスをかけないように注意を払う

赤囲み: 先行studyに対する改善点

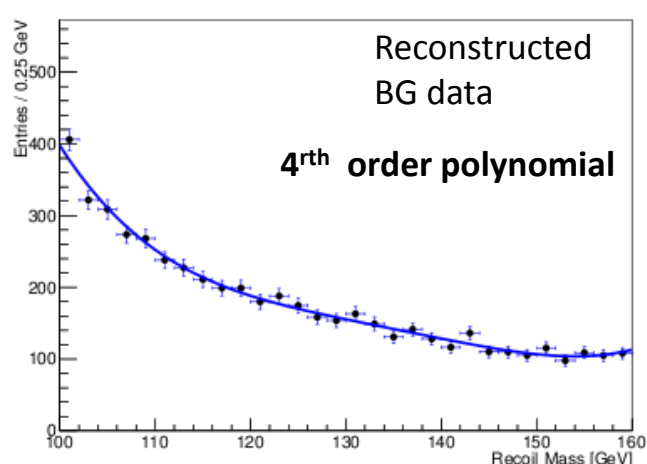
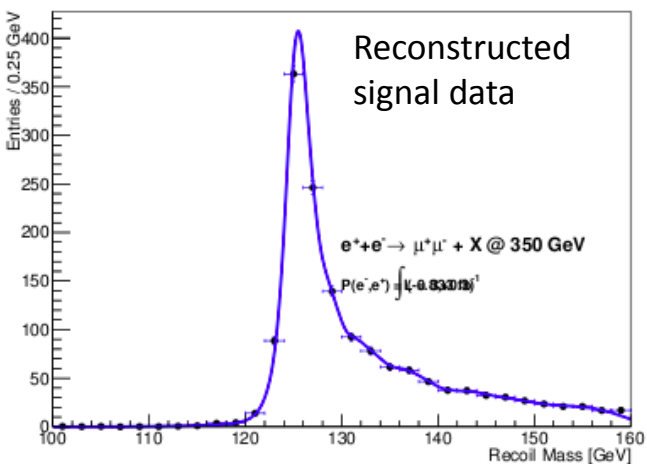
# 反跳質量分布のfitting

## カーネル密度推定法

各標本点の周りの Gaussian の重ね合わせ

Signal : Kernel function

BG : 3<sup>rd</sup> or 4<sup>th</sup> order polynomial



## Toy MC study

目的: Fitting手法の妥当性を検討

$M_h$ 、 $\sigma ZH$  などの精度を評価

手法:

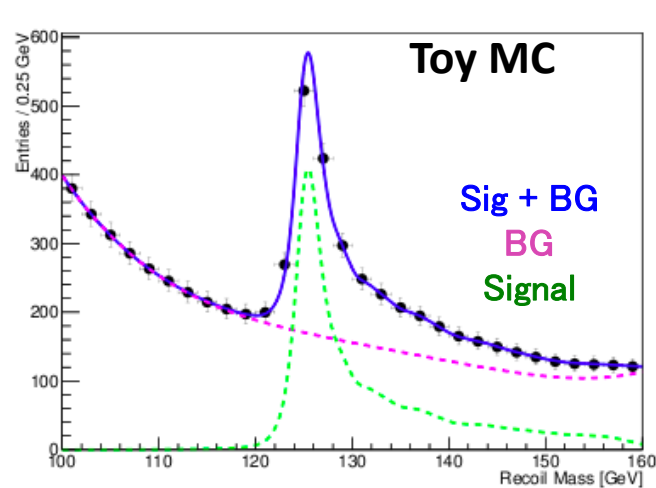
実データのfit結果に従って1000 × 統計でToy MCデータを生成

→ MCの分布と同じ関数でfit : Kernel + polynomial

→ signal yield、mass shift、と  $\sigma ZH$ 、 $M_H$  の統計誤差を得る

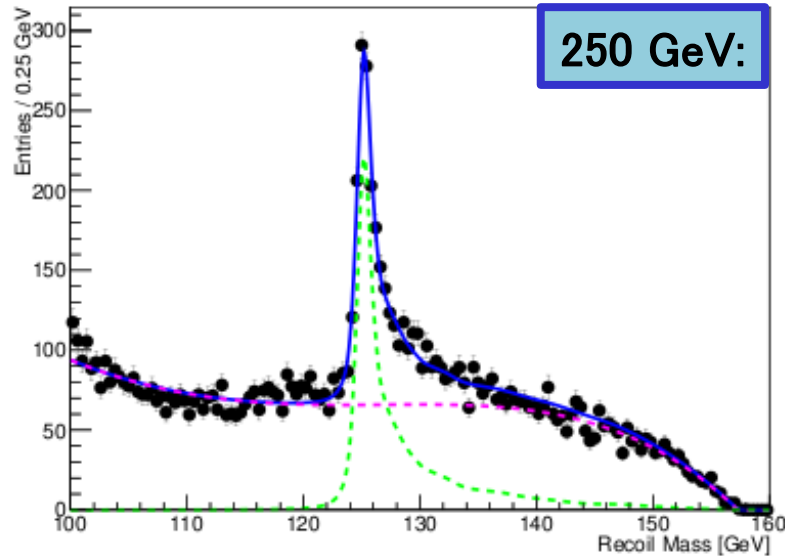
↑  
断面積  
 $\sigma ZH$

非常に小さい(数MeV)ので  
殆ど系統誤差にならない



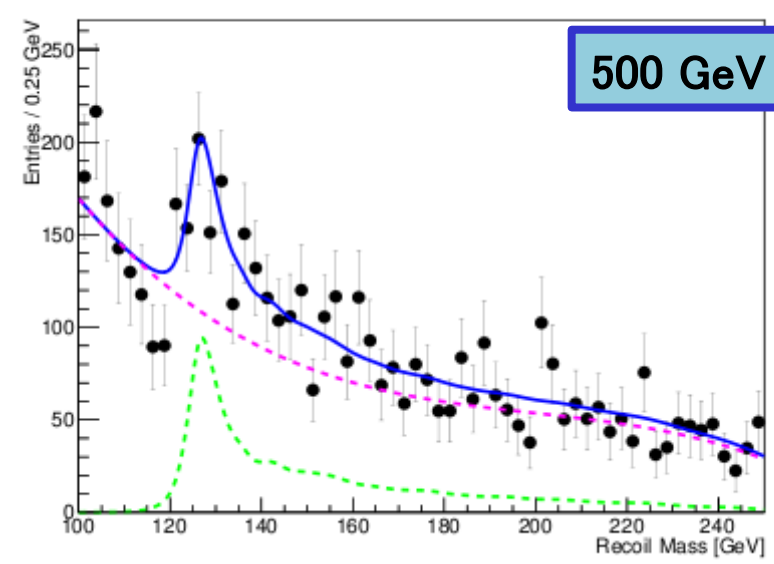
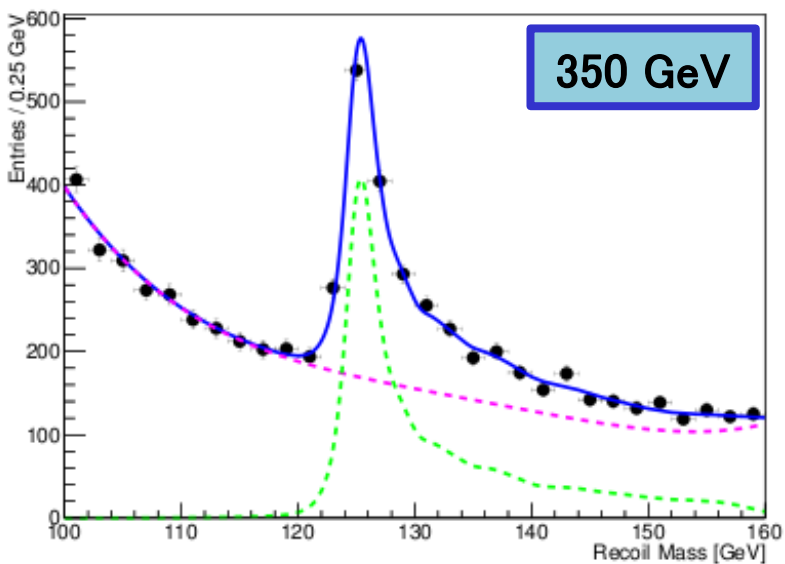
# Fitted Recoil Mass Plot の例

$e^+e^- \rightarrow ZH \rightarrow \mu\mu H$  channel



- MCデータ点
- Sig + BG
- BG
- Signal

Reconstructed data  
ビーム偏極左巻き ((- 0.8, + 0.3))



注) 500 GeVはfit範囲を広くとっている

## データ選別の結果 Signal significance

反跳質量分布のfit  
範囲 100–160 GeV

Significance は  
 $250 > 350 > 500 \text{ GeV}$

$Z_{\text{mm}} > Z_{\text{ee}}$

ECM		左巻き	右巻き
250GeV	Zmm	18.3	19.7
	Zee	14.4	12.8
350GeV	Zmm	17.7	17
	Zee	14.1	12.7
500GeV	Zmm	11.1	9.9
	Zee	8.7	8.9

## 断面積と質量 の測定精度 (TDR 設定)

Toy MC studyの結果

左巻き偏極:  
 $(Pe^-, Pe^+) = (-0.8, +0.3)$

右巻き偏極:  
 $(Pe^-, Pe^+) = (-0.8, +0.3)$

ECM		xsec err 左巻き	xsec err 右巻き	mass err [MeV] 左巻き	mass err [MeV] 右巻き
250GeV	Zmm	3.35%	3.57%	40.4	40.5
	(250 fb $^{-1}$ ) Zee	4.76%	5.14%	109	121
	Total	2.74%	2.93%	37.9	38.4
350GeV	Zmm	3.90%	4.31%	101	112
	(333 fb $^{-1}$ ) Zee	5.63%	6.26%	327	296
	Total	3.21%	3.55%	96.5	105
500GeV	Zmm	6.50%	7.27%	468	572
	(500 fb $^{-1}$ ) Zee	7.86%	7.86%	1540	1530
	Total	5.01%	5.33%	448	536

## 生成断面積

- 350 GeV は 250 GeV に 17 % 劣る  
(lepton の運動量分解能の影響)
- Zee は Zmm に > 40% 劣る (brem の影響)
- 右巻きは 左巻きに 5 – 10 % 劣る (統計量の影響)

## 反跳質量

- 350 GeV は 250 GeV に < 3 倍 劣る
- Zee は Zmm に 2-3 倍 劣る

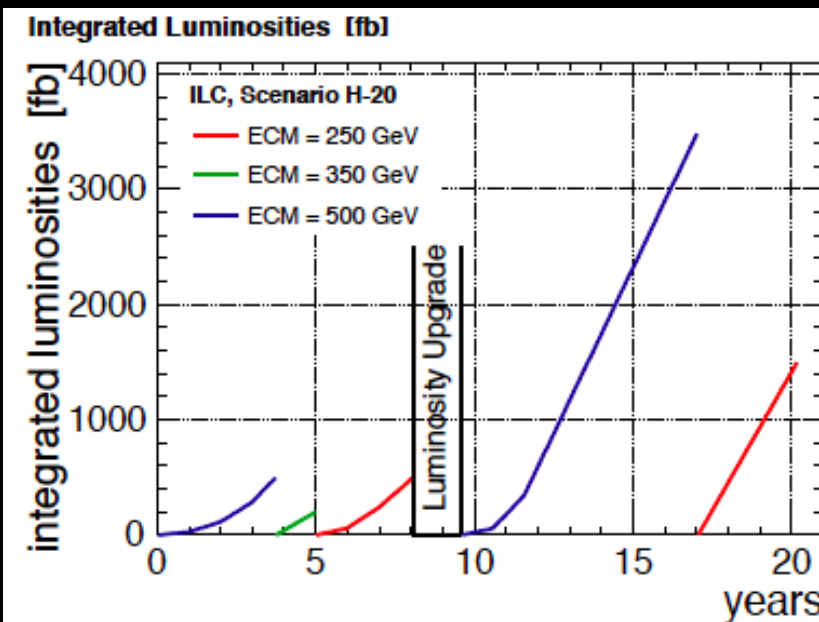
# 断面積と質量の測定精度： H20 シナリオにスケールした場合

ECM	xsec err 左巻き	xsec err 右巻き	xsec err combined	mass err [MeV] 左巻き	mass err [MeV] 右巻き	mass err [MeV] combined
250GeV (2 ab-1)	1.18%	2.18%	1.04%	16.3	28.6	14.2
350GeV (0.2 ab-1)	5.04%	9.66%	4.47%	152	286	134
500 GeV (4 ab-1)	2.80%	2.98%	2.04%	250	300	192

3つのECMの結果を全て合わせたときに、  
H20 runから期待できる σZH誤差は0.9%， MH誤差は14 MeV

Lumi	$\sqrt{s}$ [GeV]	$\int \mathcal{L} dt$ [fb $^{-1}$ ]
Physics run	500	500
Physics run	350	200
Physics run	250	500
Shutdown		
Physics run	500	3500
Physics run	250	1500

- H20での350 GeVの運転期間が短いので精度がTDR設定に劣る
- 250, 500 GeVでたくさんデータを取る予定



polarization	fraction with $\text{sgn}(P(e^-), P(e^+)) =$			
	(-,+)	(+,-)	(-,-)	(+,+)
$\sqrt{s}$	[%]	[%]	[%]	[%]
250 GeV	67.5	22.5	5	5
350 GeV	67.5	22.5	5	5
500 GeV	40	40	10	10

- Higgs反跳質量測定はmodel independent である事がセールスポイント

少しでもHiggs崩壊モードのバイアスがあると断面積への系統誤差となる

ここで、バイアスをstudyした

- 通常のMCサンプルは小さい分岐比(BR)モードがに統計が制限を受ける  
→ BRに関係なく各崩壊モードごとに生成された高統計のサンプルを使った
- 極力バイアスが生じないようにデータ選別(BG排除)の手法を改善してきた

以上を以て、

崩壊モード依存性由来の系統誤差は十分に無視可能であることを提示できた

以降、 詳細を話して行きます。。。。。。

# Higgs崩壊モード依存性：問題提起と解決

[問題1] Lepton pair を組む際に、

Higgs崩壊由来のものを間違って取ってくることがある

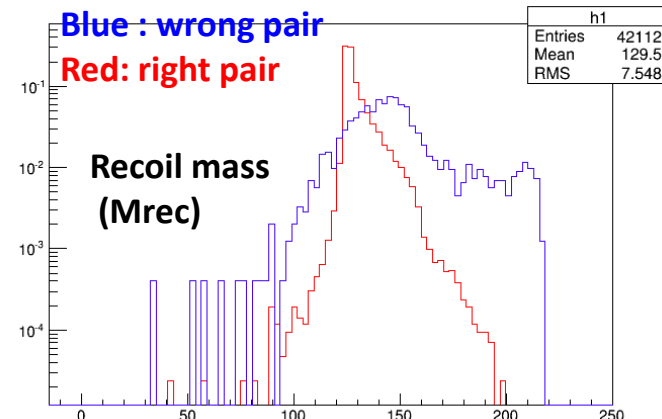
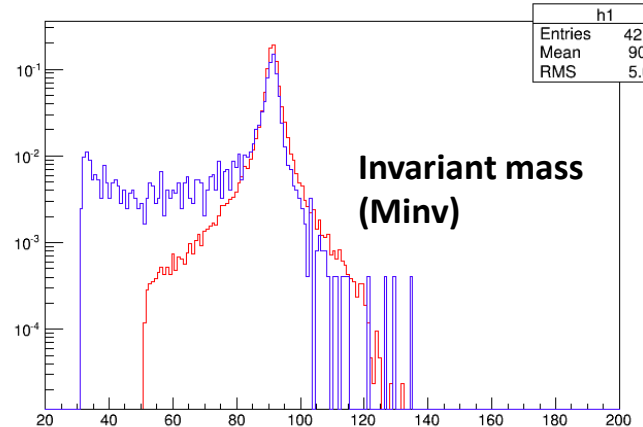
- 主に  $H \rightarrow ZZ^*, WW^*$  に顕著
- 後ほどかける厳しい  $M_{\text{inv}}$  や  $M_{\text{rec}}$  のカットをクリアできず、最終的に efficiency が低くなる

対策：“best lepton pair”的選別条件を工夫する

以前：  $M_{\text{inv}}$  が  $Z$  質量に一番近い

間違った組み合わせでもたまたま満たす場合があるが、 $M_{\text{rec}}$  が  $M_H$  から離れている可能性が大きい

現在：  $M_{\text{inv}}$  と  $M_{\text{rec}}$  で構成された  $\chi^2$  を最小にする

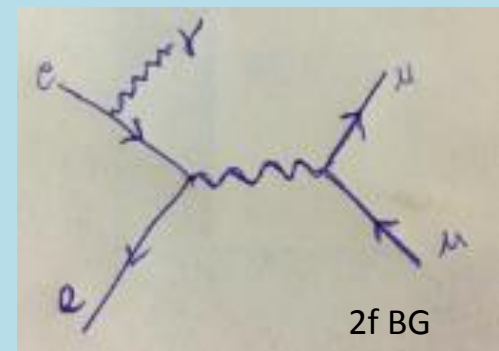


[問題2] 2f BG を除去するために使用するカットが  $H \rightarrow \gamma \gamma$ ,  $\tau \tau$  モードにバイアスを及ぼす

以前：  
 $dP_{t,bal} \circ \left| \overrightarrow{P}_{t,dl} \right| - \left| \overrightarrow{P}_{t,g} \right| < 10 \text{ GeV}$  をカット

現在： ISR  $\gamma$  と dilepton の方向の情報も取り入れた新しいカット

$\left| \overrightarrow{P}_{t,sum} \right| \circ \left| \overrightarrow{P}_{t,g} + \overrightarrow{P}_{t,dl} \right| < 10 \text{ GeV}$  をカット



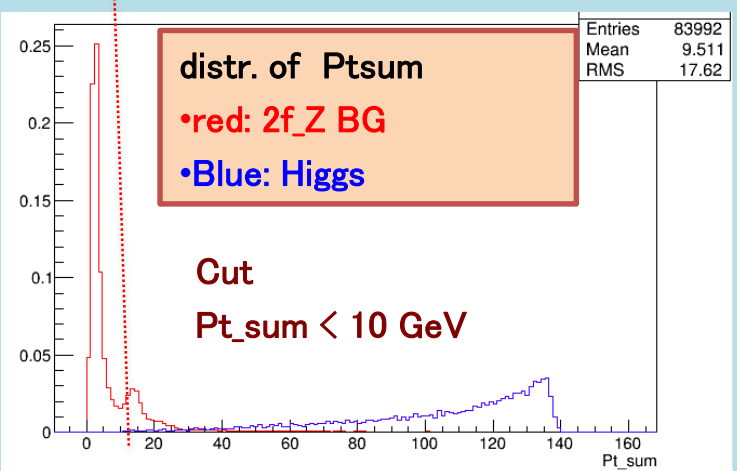
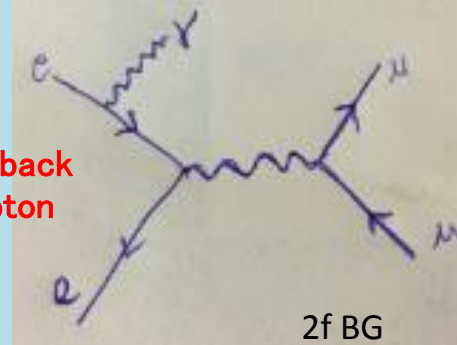
$\gamma$  back-to back  
w.r.t. di-lepton

## 2f BG を安全に除去する試み

従来の2f BG排除手段が H  
 →  $\tau \tau$ ,  $\gamma \gamma$ にバイアスを引き起こす

$$dP_{t,bal} \circ \left| \overrightarrow{P}_{t,dl} \right| - \left| \overrightarrow{P}_{t,g} \right|$$

$\gamma$  back-to back  
w.r.t. di-lepton



### NEW #1 isolated photon finder:

tagしている  $\gamma$  がISRであってHiggs崩壊からではないことを保証  
(small cone energy)

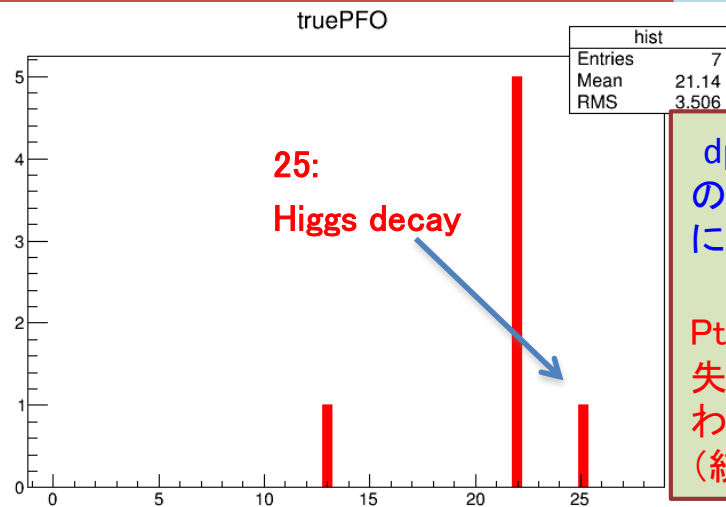
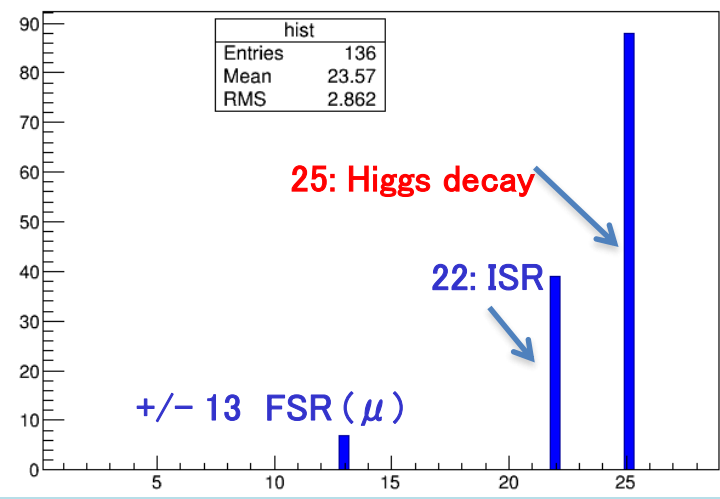
### NEW #2 新しいカット変数

(dptbalの代わりに)

$$\left| \overrightarrow{P}_{t,sum} \right| \circ \left| \overrightarrow{P}_{t,g} + \overrightarrow{P}_{t,dl} \right|$$

ベクトルの大きさと方向の両情報を併用

### PDG of $\gamma$ for events removed by Ptsum /dptbal cut ( 250 GeV $Z \mu \mu$ )



dptbal cut が~ 100 個  
のHiggs崩壊由来  $\gamma$  のevent  
にバイアスをかける

Ptsumに切り替えれば  
失われるHiggs事象は  
わずか数個  
(統計的に有意ではない)

# “lepton pairing mistake” の行方

OLD:  $|M_{inv} - M_Z|$  を最小化

→ NEW:  $\chi^2 (M_{rec} - M_H, M_{inv} - M_Z)$  を最小化

OLD

	bb	cc	zz	ww	tautau	gg	aa
total	100.00%	100%	100.00%	100.00%	100.00%	100%	100.00%
C1	100.00%	100%	94.66%	98.13%	99.35%	100%	99.94%
C2	0.00%	0	4.97%	1.46%	0.51%	0.00%	0.06%
C3	0.00%	0	4.63%	0.46%	0.26%	0.00%	0.00%
C4	0.00%	0	0.36%	0.41%	0.14%	0.00%	0.00%
C5	0.00%	0	0.00%	0.00%	0.00%	0.00%	0.00%

NEW

	bb	cc	zz	ww	tautau	gg	aa
total	100.00%	100%	100.00%	100.00%	100.00%	100%	100.00%
C1	100.00%	100%	95.47%	98.29%	99.41%	100%	99.91%
C2	0.00%	0	4.26%	1.37%	0.49%	0.00%	0.09%
C3	0.00%	0	3.85%	0.48%	0.28%	0.00%	0.00%
C4	0.00%	0	0.27%	0.33%	0.10%	0.00%	0.00%
C5	0.00%	0	0.00%	0.00%	0.00%	0.00%	0.00%

C1: correct

C2: two real leptons exist, but at least one wrong lepton

C3: both leptons wrong

C4: only 1 real lepton

C5: no real lepton

結果：組み間違いが減少した

( $H \rightarrow ZZ^*$ : 14% 減少  $H \rightarrow WW^*$ : 6% 減少)

ところが、残留の間違いは許せるのか？

•  $BR(H \rightarrow ZZ^*) \sim 2\%$ と小さいので大丈夫そうだが、

$BR(H \rightarrow WW^*) \sim 22\%$ と大きいので問題的かもしれない

• 実際 high statistics sample の結果を Higgs 分岐比でスケールして考察した

# 現実的なケース：標準模型のHiggs分岐比を考慮した場合

	eff(final)	dev*BR		eff(final)	dev*BR	Cheat: MC truth を利用して、Higgs崩壊由来のleptonを絶対に組まないようにしている
bb	82.58%	0.170%	bb	78.14%	0.237%	
cc	82.59%	0.008%	cc	78.14%	0.011%	
gg	82.50%	0.018%	gg	77.69%	-0.003%	
tt	82.02%	-0.017%	tt	77.32%	-0.026%	
ww	81.98%	-0.066%	Zmm	ww	-0.063%	Zee
zz	82.02%	-0.007%	real	zz	-0.053%	real
aa	68.38%	-0.032%		aa	-0.030%	
avg eff:	82.29%			avg eff:	77.73%	

	eff(final)	dev*BR		eff(final)	dev*BR	Efficiency values weighed by SM BR
bb	82.58%	0.110%	bb	78.14%	0.150%	BR
cc	82.59%	0.005%	cc	78.14%	0.007%	bb 57.8%
gg	82.50%	0.009%	Zmm	77.69%	-0.016%	cc 2.7%
tt	82.17%	-0.014%	cheat	77.53%	-0.022%	gg 8.6%
ww	82.30%	-0.019%		ww	-0.026%	tt 6.4%
zz	82.87%	0.013%		zz	0.003%	ww 21.6%
aa	68.41%	-0.032%		aa	-0.029%	zz 2.7%
avg eff	82.39%			avg eff	77.88%	aa 0.2%

Zee は  $Z\mu\mu$  よりも間違いが起きやすい

- $H \rightarrow bb, cc, gg$  は本来バイアスがないので "real" と "cheat" が一致
- "cheat" の場合、efficiency は  $H \rightarrow zz$  が 1%,  $H \rightarrow ww$  が 0.3% 上昇 (元々然程悪くない?)
- $\sigma_{ZH}$ への系統誤差は < 0.17% ( $Z\mu\mu$ )、< 0.24% (Zee)  
 H20 run から得られる最善の  $\sigma_{ZH}$  の統計精度をはるかに下回る (~0.9%)

e+e- → ZH → l+l-H (l = μ / e)過程を用いたHiggs反跳質量測定

@ ECM = 250, 350, 500 GeV

## Summary

Higgs質量とZH生成断面積(全てのHiggs couplingへの鍵!)のmodel independent測定

- ECMとビーム偏極が測定精度に与える影響を評価した

- 合計12通りの統計誤差を出した : ECM(3) × レプトンチャンネル(2) × ビーム偏極(2)

< TDR設定を仮定した解析結果> (Zμμ Zee channels combined)

ECM (Pe-,Pe+)

250 GeV: (-0.8, +0.3) Δσ / σ = 2.7 % ΔM = 38 MeV (+0.8, -0.3) Δσ / σ = 2.9 % ΔM = 38 MeV

350 GeV: (-0.8, +0.3) Δσ / σ = 3.2 % ΔM = 97 MeV (+0.8, -0.3) Δσ / σ = 3.5 % ΔM = 105 MeV

500 GeV: (-0.8, +0.3) Δσ / σ = 5.0 % ΔM = 448 MeV (+0.8, -0.3) Δσ / σ = 5.3% ΔM = 536 MeV

LuminosityがECMに比例するTDR設定では、

- 350 GeVは250 GeVに比べて σZH 精度は然程悪くないが、MHの精度は250 GeVが2倍以上優秀
  - ZμμはZee比べて断面積も質量も2-3倍優秀
  - 左巻き偏極は右巻き偏極に比べて断面積が 5-10% 優秀
- H20シナリオに焼き直すと3つのECM合わせて σZHの精度=0.9%, MH精度=14 MeV

Higgs崩壊モードバイアスによる σZHへの系統誤差は H20で期待されるベスト統計精度に比べて有意ではないことを提示した < 0.17% (Zμμ)、< 0.24% (Zee)

→ ILCのセールスポイントの1つを確保！！

## Higgs Recoil Study のプラン

- (1) 500 GeVからILCの運転を開始するH20シナリオの視点から  
**500 GeVでのleptonic recoil の精度の改善**  
+ **500 GeVのhadronic recoil 解析の開始**  
の優先順位の高い（主観的に）
  
- (2) 全てのECMで更なる  $\sigma_{ZH}$  精度の改善
  - H $\rightarrow$ visible と H $\rightarrow$ invisibleに分けた解析  
→ 支配的な  $\mu \mu \nu \nu$  BGの影響を抑えられる
  
- (3) beam spectrum からくる系統誤差のstudy

現在 Title (preliminary) : **Leptonic Higgs Recoil Analysis at the ILC**  
の論文を書いています (今年(度)中完成?)

# Abstract of Leptonic Higgs Recoil Paper

## Leptonic Higgs Recoil Analysis at the ILC

This paper reports **on the expected precision for the model independent measurement of the absolute Higgs boson production cross section for the Higgsstrahlung process at the ILC.** Only possible at the ILC, this unique measurement is **indispensable for extraction of all Higgs branching ratios and couplings** from event rates. Also reported is the expected **precision for the Higgs recoil mass**, which provides a window into physics beyond the Standard Model. The study here is based on full simulation of the ILD detector as proposed in the Technical Design Report. In the clean Higgsstrahlung process, the Higgs Boson is produced together with a Z boson which decays into a well-measurable dilepton system ( $Z \rightarrow \mu\mu$  or  $Z \rightarrow ee$ ). In accordance with the most up to date plan of ILC accelerator operation, analysis has been carried out for three center of mass energies ( $E_{cm}$ ) of 250, 350, and 500 GeV, and alternative beam polarization scenarios. **Methods of signal selection are optimized to achieve the best ZH cross section precision while maintaining Higgs decay mode independence.** At  $E_{cm}=250$  GeV, where the best detector resolution is obtainable, the **ZH cross section can be determined with a precision of 2.7%, while the expected Higgs mass precision is 39 MeV.** (Reasonable precision have also been demonstrated for the higher energies of 350 and 500 GeV which extend the physics reach).

# BACKUP

## カーネル密度推定 (Kernel density estimation)

カーネル密度推定を用いて標本データの母集団のデータを外挿する

$x_1, x_2, \dots, x_N$  を確率変数の独立かつ同一な分布に従う標本とする

確率密度関数のカーネル密度推定は

$$\hat{f}_h(x) = \frac{1}{Nh} \sum_{i=1}^N K\left(\frac{x - x_i}{h}\right)$$

$$K(x) = \frac{1}{\sqrt{2\pi}} e^{-\frac{1}{2}x^2}$$

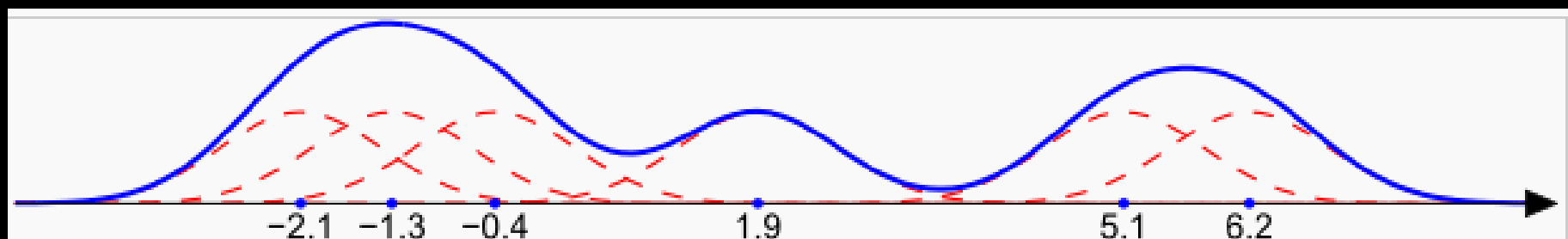
K = カーネル関数 (通常 Gaus(0,1))

h = バンド幅(平滑化パラメータ)

標本を一定幅の箱に入れて数えて軽近似で一致させているわけではない

カーネル関数から決定されたコブを各標本に与える

つまり、「コブの総和」によって推定が形成されるため、結果として非常に滑らかになる



6つのガウス曲線（赤）とそれらの総和（青）。パルツェン窓密度推定  $f(x)$  は、この総和を6（元のガウス曲線の数）で割ることで得られる。ガウス関数の分散は 0.5 に設定されている。見ての通り、標本点が稠密にあるほど、密度推定値は大きくなる。

## Efficiency of each Higgs decay mode (after each cut)

Resolved problem of poor isolation in lepton finder

Weights trained using  $H \rightarrow qqqq$

Eff. (%)	bb	cc	gg	tt	ww	zz	aa
Cut0 :	92.41 +/- 0.086	92.43 +/- 0.087	91.66 +/- 0.09	93.27 +/- 0.081	92.67 +/- 0.083	93.01 +/- 0.082	92.84 +/- 0.07
Cut1 :	92.41 +/- 0.086	92.43 +/- 0.087	91.66 +/- 0.09	93.24 +/- 0.081	92.64 +/- 0.083	92.77 +/- 0.083	92.83 +/- 0.07
Cut2 :	90.85 +/- 0.094	90.84 +/- 0.095	90.05 +/- 0.098	91.37 +/- 0.091	90.56 +/- 0.093	90.6 +/- 0.094	90.48 +/- 0.08
Cut3 :	88.92 +/- 0.1	89.07 +/- 0.1	88.23 +/- 0.11	89.39 +/- 0.099	88.53 +/- 0.1	88.49 +/- 0.1	88.69 +/- 0.086
Cut4 :	88.71 +/- 0.1	88.88 +/- 0.1	88.03 +/- 0.11	89.2 +/- 0.1	88.29 +/- 0.1	88.24 +/- 0.1	88.52 +/- 0.087
Cut5 :	88.66 +/- 0.1	88.8 +/- 0.1	87.97 +/- 0.11	88.73 +/- 0.1	88.18 +/- 0.1	88.13 +/- 0.1	86.7 +/- 0.092
Cut6 :	88.16 +/- 0.1	88.47 +/- 0.1	87.82 +/- 0.11	87.99 +/- 0.1	87.43 +/- 0.11	87.3 +/- 0.11	73.14 +/- 0.12
Cut7 :	81.72 +/- 0.13	81.74 +/- 0.13	81.23 +/- 0.13	81.62 +/- 0.13	81.04 +/- 0.13	81.14 +/- 0.13	67.98 +/- 0.13
Cut8 :	81.55 +/- 0.13	81.59 +/- 0.13	81.07 +/- 0.13	81.42 +/- 0.13	80.85 +/- 0.13	80.87 +/- 0.13	67.89 +/- 0.13

Weights trained using  $H \rightarrow gg$

Eff. (%)	bb	cc	gg	tt	ww	zz	aa
Cut0 :	93.7 +/- 0.079	93.69 +/- 0.08	93.4 +/- 0.081	94.02 +/- 0.077	94.04 +/- 0.076	94.36 +/- 0.074	93.71 +/- 0.066
Cut1 :	93.7 +/- 0.079	93.69 +/- 0.08	93.4 +/- 0.081	93.99 +/- 0.077	94.02 +/- 0.076	94.15 +/- 0.075	93.7 +/- 0.066
Cut2 :	92.12 +/- 0.087	92.06 +/- 0.089	91.76 +/- 0.09	92.14 +/- 0.087	91.96 +/- 0.087	91.99 +/- 0.087	91.21 +/- 0.077
Cut3 :	90.09 +/- 0.097	90.2 +/- 0.098	89.84 +/- 0.099	90.06 +/- 0.097	89.77 +/- 0.097	89.78 +/- 0.097	89.35 +/- 0.084
Cut4 :	89.88 +/- 0.098	90.02 +/- 0.098	89.64 +/- 0.099	89.87 +/- 0.097	89.53 +/- 0.098	89.53 +/- 0.098	89.17 +/- 0.085
Cut5 :	89.83 +/- 0.098	89.94 +/- 0.099	89.57 +/- 0.1	89.39 +/- 0.099	89.43 +/- 0.098	89.42 +/- 0.099	87.34 +/- 0.091
Cut6 :	89.28 +/- 0.1	89.58 +/- 0.1	89.42 +/- 0.1	88.64 +/- 0.1	88.66 +/- 0.1	88.56 +/- 0.1	73.67 +/- 0.12
Cut7 :	82.75 +/- 0.12	82.75 +/- 0.12	82.67 +/- 0.12	82.23 +/- 0.12	82.16 +/- 0.12	82.28 +/- 0.12	68.48 +/- 0.13
Cut8 :	82.58 +/- 0.12	82.59 +/- 0.12	82.5 +/- 0.12	82.02 +/- 0.12	81.98 +/- 0.12	82.02 +/- 0.12	68.38 +/- 0.13
Cut9 :	82.58 +/- 0.12	82.59 +/- 0.12	82.5 +/- 0.12	82.02 +/- 0.12	81.98 +/- 0.12	82.02 +/- 0.12	68.38 +/- 0.13
Cut10:	74.8 +/- 0.14	74.65 +/- 0.14	74.8 +/- 0.14	74.55 +/- 0.14	74.47 +/- 0.14	73.83 +/- 0.14	64.9 +/- 0.13

Process:  $ZH \rightarrow \mu^+ \mu^- H$

Polarization:  $(e^-, e^+) = (-0.8, +0.3)$

Cuts

```

Cut 0 :
Cut 1 :   leptype==13
Cut 2 :   PtDL>10&&abs(Minv-91.18)<40&&Mrec>100&&Mrec<300
Cut 3 :   Minv>73&&Minv<120
Cut 4 :   PtDL>10&&PtDL<70
Cut 5 :   (Ptsum<0||Ptsum>10)
Cut 6 :   !((Evis-Elep1-Elep2-Ephotonmax)<10&&Ephotonmax>0&&abs(cosmis)>0.98)
Cut 7 :   abs(cosz) < 0.9
Cut 8 :   Mrec>100&&Mrec<160

```

cut definition

- Lepton finder efficiency rise by 2% for gg , also higher for ww
- Now gg eff consistent with bb, cc

## Efficiency of each Higgs decay mode (after each cut)

Real data	bb	cc	gg	tt	ww	zz	aa
Cut0 :	93.7 +/- 0.079	93.69 +/- 0.08	93.4 +/- 0.081	94.02 +/- 0.077	94.04 +/- 0.076	94.36 +/- 0.074	93.71 +/- 0.066
Cut1 :	93.7 +/- 0.079	93.69 +/- 0.08	93.4 +/- 0.081	93.99 +/- 0.077	94.02 +/- 0.076	94.15 +/- 0.075	93.7 +/- 0.066
Cut2 :	92.12 +/- 0.087	92.06 +/- 0.089	91.76 +/- 0.09	92.14 +/- 0.087	91.96 +/- 0.087	91.99 +/- 0.087	91.21 +/- 0.077
Cut3 :	90.09 +/- 0.097	90.2 +/- 0.098	89.84 +/- 0.099	90.06 +/- 0.097	89.77 +/- 0.097	89.78 +/- 0.097	89.35 +/- 0.084
Cut4 :	89.88 +/- 0.098	90.02 +/- 0.098	89.64 +/- 0.099	89.87 +/- 0.097	89.53 +/- 0.098	89.53 +/- 0.098	89.17 +/- 0.085
Cut5 :	89.83 +/- 0.098	89.94 +/- 0.099	89.57 +/- 0.1	89.39 +/- 0.099	89.43 +/- 0.098	89.42 +/- 0.099	87.34 +/- 0.091
Cut6 :	89.28 +/- 0.1	89.58 +/- 0.1	89.42 +/- 0.1	88.64 +/- 0.1	88.66 +/- 0.1	88.56 +/- 0.1	73.67 +/- 0.12
Cut7 :	82.75 +/- 0.12	82.75 +/- 0.12	82.67 +/- 0.12	82.23 +/- 0.12	82.16 +/- 0.12	82.28 +/- 0.12	68.48 +/- 0.13
Cut8 :	82.58 +/- 0.12	82.59 +/- 0.12	82.5 +/- 0.12	82.02 +/- 0.12	81.98 +/- 0.12	82.02 +/- 0.12	68.38 +/- 0.13
Cut9 :	82.58 +/- 0.12	82.59 +/- 0.12	82.5 +/- 0.12	82.02 +/- 0.12	81.98 +/- 0.12	82.02 +/- 0.12	68.38 +/- 0.13
Cut10:	74.8 +/- 0.14	74.65 +/- 0.14	74.8 +/- 0.14	74.55 +/- 0.14	74.47 +/- 0.14	73.83 +/- 0.14	64.9 +/- 0.13

## Cheat pairing using MC truth

Eff. (%)	bb	cc	gg	tt	ww	zz	aa
Cut0 :	93.7 +/- 0.079	93.68 +/- 0.08	93.4 +/- 0.081	93.89 +/- 0.077	93.62 +/- 0.078	93.86 +/- 0.077	93.7 +/- 0.066
Cut1 :	93.7 +/- 0.079	93.68 +/- 0.08	93.4 +/- 0.081	93.89 +/- 0.077	93.62 +/- 0.078	93.86 +/- 0.077	93.7 +/- 0.066
Cut2 :	92.12 +/- 0.087	92.06 +/- 0.089	91.76 +/- 0.09	92.17 +/- 0.087	91.95 +/- 0.087	92.28 +/- 0.086	91.24 +/- 0.077
Cut3 :	90.09 +/- 0.097	90.2 +/- 0.098	89.84 +/- 0.099	90.21 +/- 0.096	90.05 +/- 0.096	90.45 +/- 0.094	89.38 +/- 0.084
Cut4 :	89.88 +/- 0.098	90.01 +/- 0.098	89.64 +/- 0.099	90.01 +/- 0.097	89.84 +/- 0.097	90.24 +/- 0.095	89.21 +/- 0.084
Cut5 :	89.83 +/- 0.098	89.94 +/- 0.099	89.57 +/- 0.1	89.54 +/- 0.099	89.74 +/- 0.097	90.13 +/- 0.096	87.38 +/- 0.09
Cut6 :	89.28 +/- 0.1	89.58 +/- 0.1	89.42 +/- 0.1	88.79 +/- 0.1	88.97 +/- 0.1	89.31 +/- 0.099	73.71 +/- 0.12
Cut7 :	82.75 +/- 0.12	82.75 +/- 0.12	82.67 +/- 0.12	82.36 +/- 0.12	82.49 +/- 0.12	82.97 +/- 0.12	68.51 +/- 0.13
Cut8 :	82.58 +/- 0.12	82.59 +/- 0.12	82.5 +/- 0.12	82.17 +/- 0.12	82.3 +/- 0.12	82.83 +/- 0.12	68.41 +/- 0.13
Cut9 :	82.58 +/- 0.12	82.59 +/- 0.12	82.5 +/- 0.12	82.17 +/- 0.12	82.3 +/- 0.12	82.83 +/- 0.12	68.41 +/- 0.13
Cut10:	74.8 +/- 0.14	74.65 +/- 0.14	74.8 +/- 0.14	74.72 +/- 0.14	74.79 +/- 0.14	75.52 +/- 0.14	64.95 +/- 0.13

difference between real and cheat

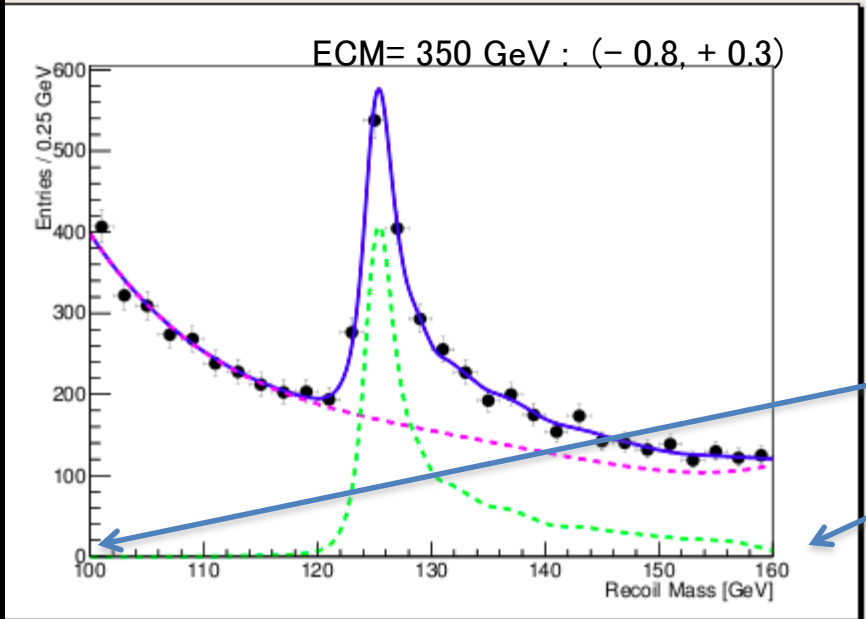
MC stat error

bb	0.00%	0.12%
cc	0.00%	0.12%
gg	0.00%	0.12%
tt	-0.15%	0.12%
ww	-0.32%	0.12%
zz	-0.85%	0.12%
aa	-0.03%	0.13%

eff for  $H \rightarrow ZZ$ ,  $ww$  is high now

"cheat pairing" (MC truth) results indicate that indeed the problem is due to paring non-prompt Z decay leptons.

maybe the only problem left



BG level fluctuation is controlled by fitting recoil mass over a wide range (100 – 160 GeV)

*an improvement from previous studies*

- BG level is usually fixed for Toy MC (optimistic scenario)
- **xsec error is about 10 % worse if we float BG** (pessimistic scenario)  
not a big degradation since I fit recoil mass spectrum over a wide range

**GOOD**

*Example:*

Zmm	xsec	Recoil mass	BG fluc
250GeV	3.35% → 3.62%	40 MeV, no change	1.23%
350GeV	3.90% → 4.39%	101 → 95 MeV	1.67%

(-  
0.8,+0.3)

xsec err      mass err [MeV]

250GeV	Zmm	3.35%	40.4
	Zee	4.76%	109
	<b>Total</b>	<b>2.74%</b>	<b>37.9</b>
350GeV	Zmm	3.90%	101
	Zee	5.63%	327
	<b>Total</b>	<b>3.21%</b>	<b>96.5</b>
500GeV	Zmm	6.50%	468
	Zee	7.86%	1540
	<b>Total</b>	<b>5.01%</b>	<b>448</b>

## Statistical error study results $z \rightarrow \mu\mu$ and $z \rightarrow ee$ combined

### xsec error

- 350 GeV is 17 % worse w.r.t. 250 GeV
- 500 GeV is much worse
- Zee is worse by > 40% w.r.t. Zmm
- right hand pol is worse by 5 – 10 % w.r.t. left hand

### Mass error

• 350 GeV is worse by factor of slightly less than 3 w.r.t. 250 GeV

• Zee is worse by a factor of 2 – 3 w.r.t. Zmm

• Systematic error of fitted recoil mass is negligible (< few MeV for 250 , 350 GeV)

**500 GeV : fitted over wide range**

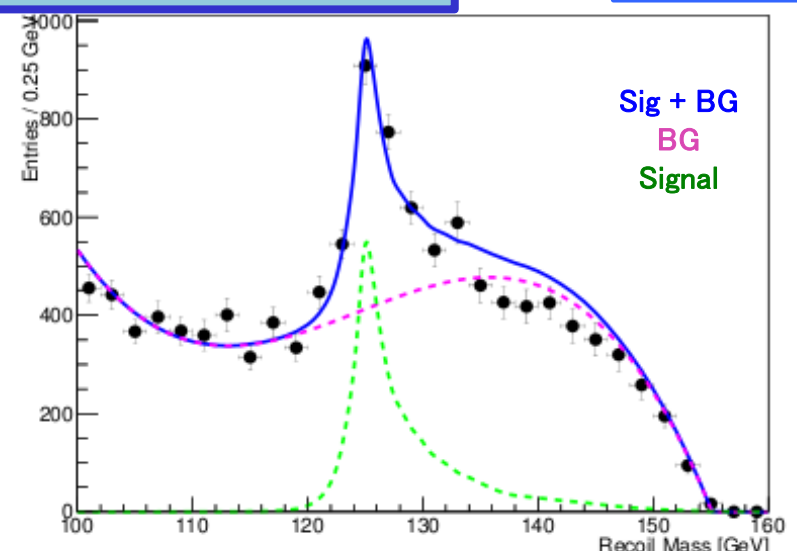
xsec error almost same as past results using GPET

(+0.8,-0.3)		xsec err	mass err [MeV]
250GeV	Zmm	3.57%	40.5
	Zee	5.14%	121
	<b>Total</b>	<b>2.93%</b>	<b>38.4</b>
350GeV	Zmm	4.31%	112
	Zee	6.26%	296
	<b>Total</b>	<b>3.55%</b>	<b>105</b>
500GeV	Zmm	7.27%	572
	Zee	7.86%	1530
	<b>Total</b>	<b>5.33%</b>	<b>536<sub>22</sub></b>

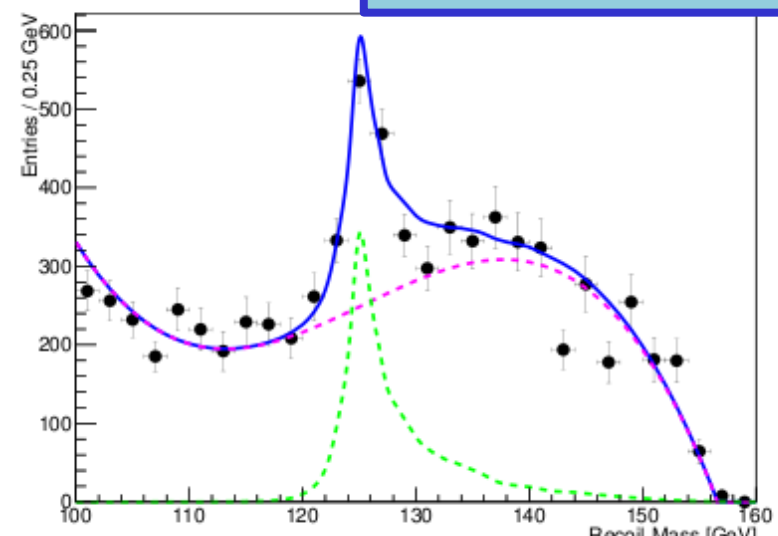
Reconstructed data  
recoil mass histogram

$z \rightarrow ee$  channel

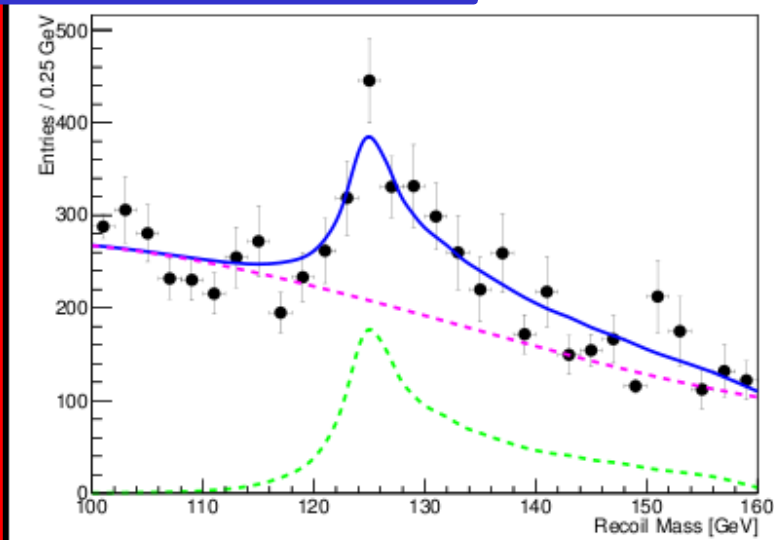
250 GeV : (- 0.8, + 0.3)



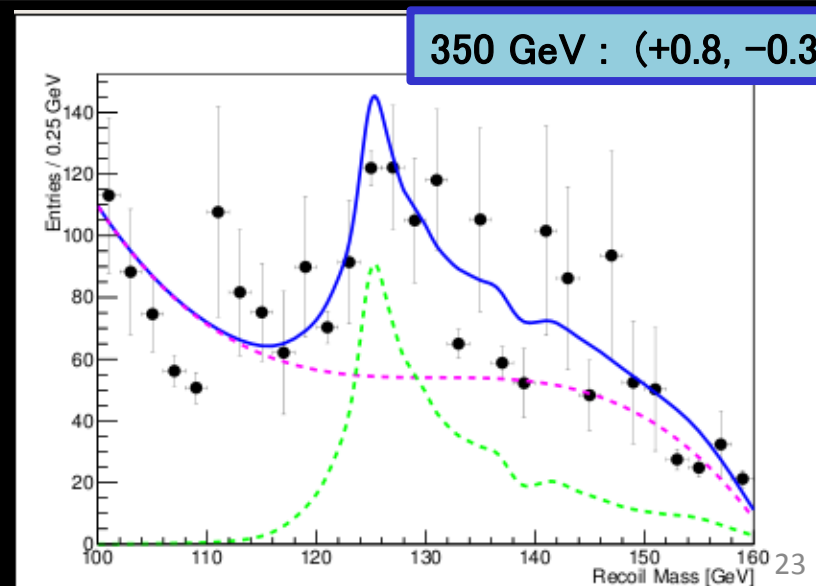
250 GeV : (+0.8, -0.3)



350 GeV : (-0.8, +0.3)



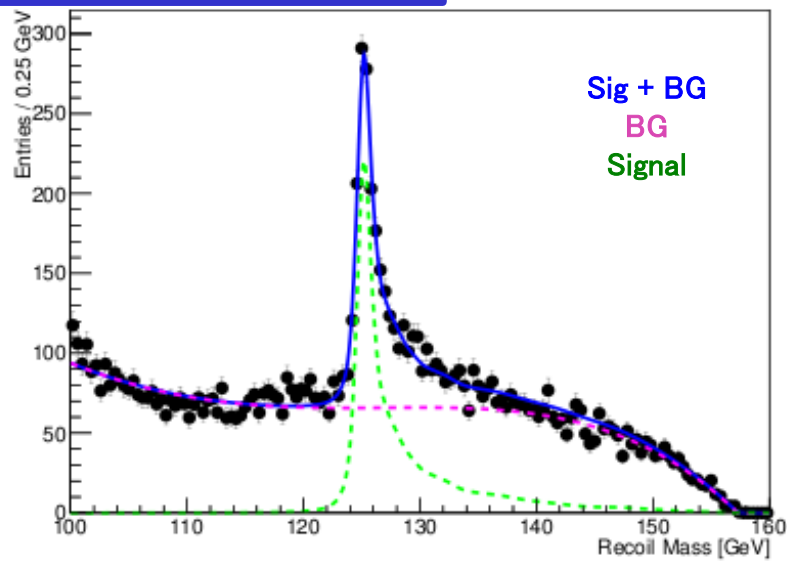
350 GeV : (+0.8, -0.3)



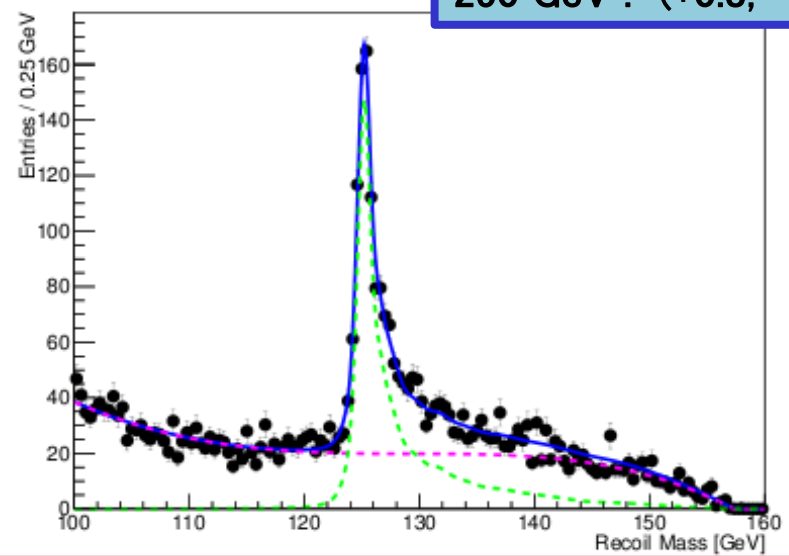
Reconstructed data  
recoil mass histogram

# $Z \rightarrow \mu\mu$ channel

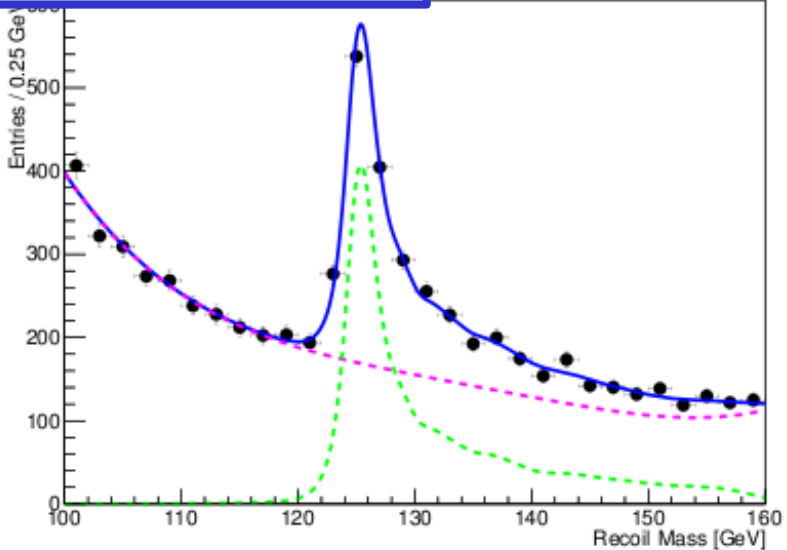
250 GeV : (- 0.8, + 0.3)



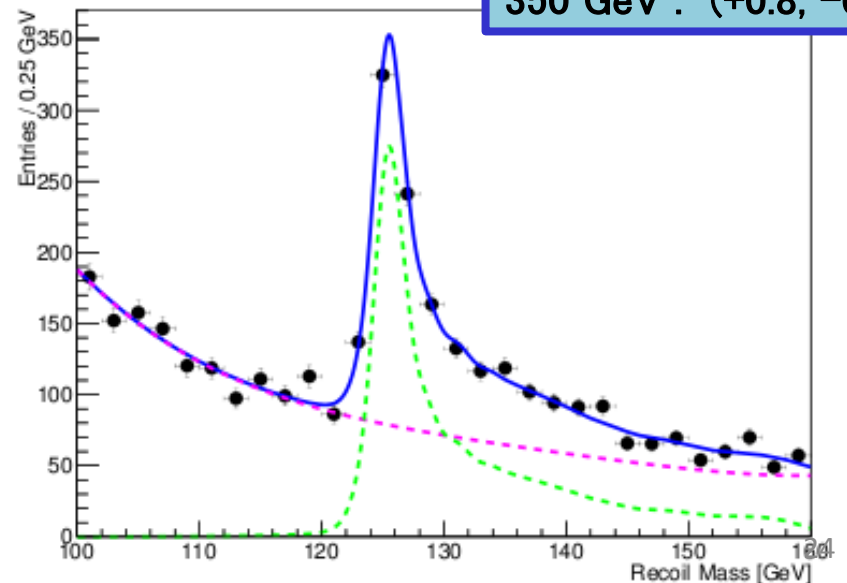
250 GeV : (+0.8, -0.3)



350 GeV : (-0.8, +0.3)



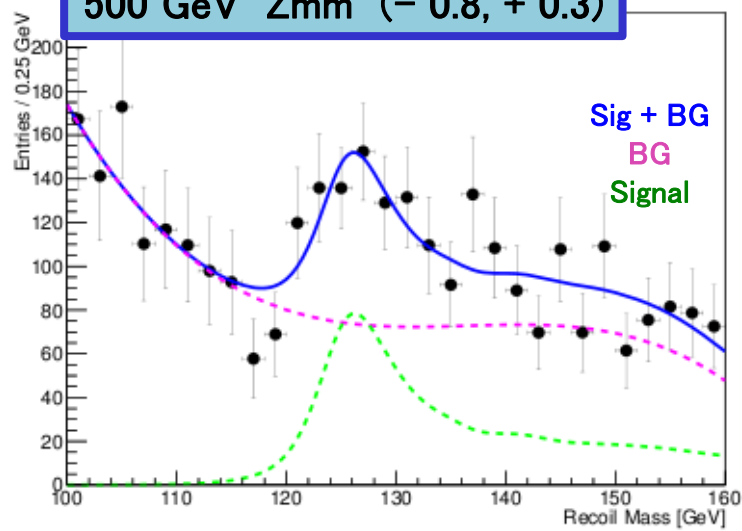
350 GeV : (+0.8, -0.3)



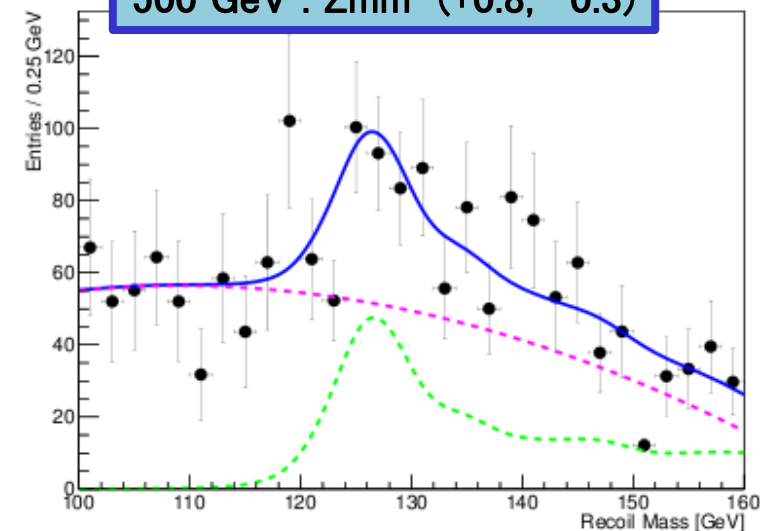
**500 GeV**

many challenges remaining : low statistics, low S/B ratio , ect...

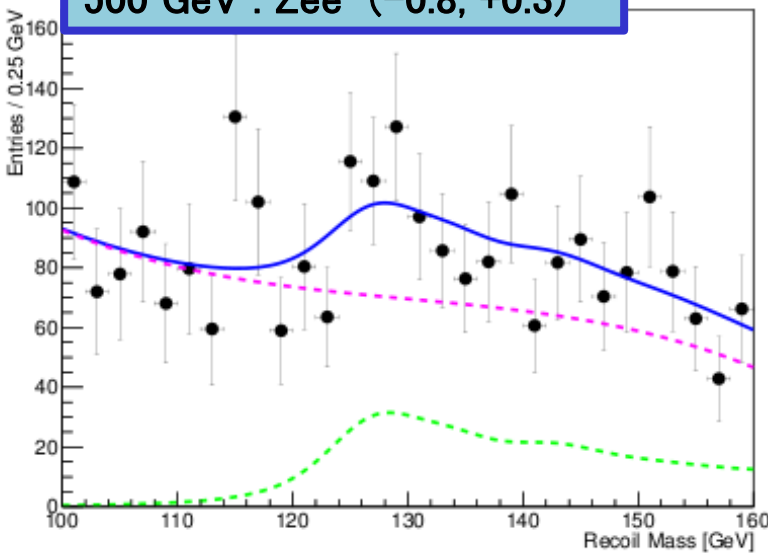
**500 GeV Zmm (- 0.8, + 0.3)**



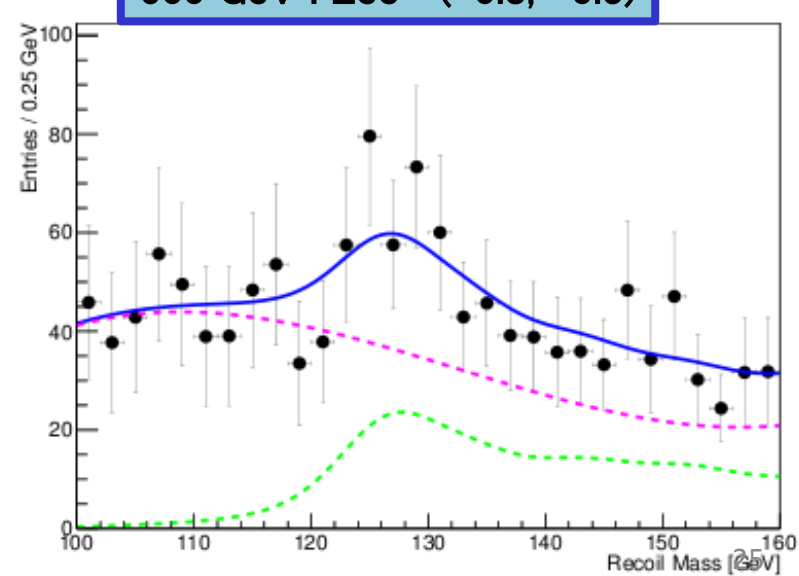
**500 GeV : Zmm (+0.8, -0.3)**



**500 GeV : Zee (-0.8, +0.3)**



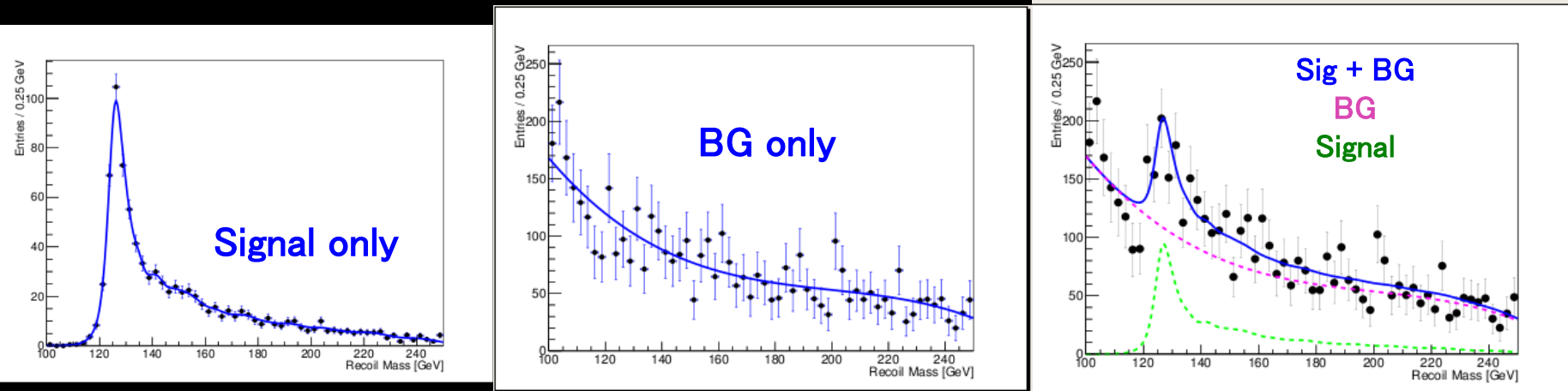
**500 GeV : Zee (+0.8, -0.3)**



Can precision can be slightly improved if we fit over a wider range ?  
assuming we can neglect the  $H^* \rightarrow WW$  bump beyond 160 GeV

500 GeV, Zee (-0.8,+0.3)

fit in 100 – 250 GeV (c.f. 100-160 GeV)



		xsec error (%)		mass error (MeV)	
		narrow	wide	narrow	wide
(-0.8,+0.3)	500GeV	Zmm	6.95%	6.50%	474
		Zee	9.89%	7.86%	1540
		<b>Total</b>	<b>5.69%</b>	<b>5.01%</b>	<b>453</b>
(+0.8,-0.3)	500GeV	Zmm	8.36%	7.27%	613
		Zee	9.85%	7.86%	1510
		<b>Total</b>	<b>6.37%</b>	<b>5.33%</b>	<b>568</b>
				468      1540      448	

10-20 %  
improvement on  
xsec and a few %  
on mass precision

## Check lepton pairing mistake : Zee channel

<b>250 GeV</b>	bb	cc	zz	ww	tautau	gg	aa
Total elec	100.00%	100%	100.00%	100.00%	100.00%	100.00%	100.00%
C1	99.91%	100%	97.36%	96.89%	98.35%	99.92%	98.15%
C2	0.05%	0.03%	1.97%	2.16%	1.06%	0.01%	1.38%
C3	0.00%	0.00%	1.17%	0.01%	0.01%	0.00%	0.02%
C4	0.04%	0.02%	0.66%	0.89%	0.52%	0.01%	0.41%
C5	0.00%	0.00%	0.01%	0.00%	0.00%	0.00%	0.00%

- Pairing mistake
- C1: correct
  - C2: two real leptons exist, but at least one wrong lepton
  - C3: both leptons wrong
  - C4: only 1 real lepton
  - C5: no real lepton

(-  
0.8,+0.3)

xsec err      mass err [MeV]

250GeV	Zmm	3.35%	40.4
	Zee	4.76%	109
	<b>Total</b>	<b>2.74%</b>	<b>37.9</b>
350GeV	Zmm	3.90%	101
	Zee	5.63%	327
	<b>Total</b>	<b>3.21%</b>	<b>96.5</b>
500GeV	Zmm	6.95%	474
	Zee	9.89%	1540
	<b>Total</b>	<b>5.69%</b>	<b>453</b>

## Statistical error study results $z \rightarrow \mu\mu$ and $z \rightarrow ee$ combined

### xsec error

- 350 GeV is 17 % worse w.r.t. 250 GeV
- 500 GeV is much worse
- Zee is worse by > 40% w.r.t. Zmm
- right hand pol is worse by 5 – 10 % w.r.t. left hand

### Mass error

• 350 GeV is worse by factor of slightly less than 3 w.r.t. 250 GeV

• Zee is worse by a factor of 2 – 3 w.r.t. Zmm

• Systematic error of fitted recoil mass is negligible (< few MeV for 250 , 350 GeV)

xsec error almost same as past results using GPET

(+0.8,-0.3)		xsec err	mass err [MeV]
250GeV	Zmm	3.57%	40.5
	Zee	5.14%	121
	<b>Total</b>	<b>2.93%</b>	<b>38.4</b>
350GeV	Zmm	4.31%	112
	Zee	6.26%	296
	<b>Total</b>	<b>3.55%</b>	<b>105</b>
500GeV	Zmm	8.36%	613
	Zee	9.85%	1510
	<b>Total</b>	<b>6.37%</b>	<b>568<sup>28</sup></b>

250 GeV	e2e2_Lpol				deviation	deviation
	N(100–160)	N_err	eff	eff_err	from avg	from ALL
bb	1885	5	72.40%	0.15%	0.42%	0.21%
cc	1882	5	72.29%	0.15%	0.31%	0.10%
tt	1883	5	72.33%	0.14%	0.35%	0.15%
gg	1872	5	71.91%	0.15%	-0.08%	-0.28%
ww	1866	5	71.67%	0.14%	-0.31%	-0.51%
zz	1856	5	71.29%	0.15%	-0.69%	-0.90%
all modes	1883	9	72.19%	0.27%		
	avg of 6		71.98%			

### Efficiency of each Higgs decay mode (after all cuts)

- systematic bias is < 1.3% for Zmm. < 4.2% for Zee
  - $H \rightarrow zz$ ,  $H \rightarrow ww$  most affected
- (lepton pair containing lepton not from prompt Z decay )

250 GeV	e1e1_Lpol				deviation	deviation
	N(100–160)	deltaN	eff	eff_err	from avg	from ALL
bb	1491	6	54.65%	0.17%	-1.15%	-0.39%
cc	1497	6	54.86%	0.16%	-0.94%	-0.18%
tt	1480	6	54.21%	0.16%	-1.58%	-0.83%
gg	1484	6	54.38%	0.16%	-1.42%	-0.66%
ww	1469	6	53.83%	0.16%	-1.96%	-1.21%
zz	1442	6	52.83%	0.16%	-2.96%	-2.21%
all modes	1502	10	55.04%	0.28%		
	avg of 6		54.13%			

# Efficiency of each Higgs decay mode (after each cut)

Eff. (%)	bb	cc	gg	tt	ww	zz	aa
Cut0 :	92.41 +/- 0.086	92.43 +/- 0.087	91.66 +/- 0.09	93.1 +/- 0.082	92.19 +/- 0.086	92.41 +/- 0.085	92.83 +/- 0.07
Cut1 :	92.41 +/- 0.086	92.43 +/- 0.087	91.66 +/- 0.09	93.1 +/- 0.082	92.19 +/- 0.086	92.41 +/- 0.085	92.83 +/- 0.07
Cut2 :	90.85 +/- 0.094	90.84 +/- 0.095	90.05 +/- 0.098	91.41 +/- 0.09	90.56 +/- 0.093	90.86 +/- 0.093	90.51 +/- 0.08
Cut3 :	88.92 +/- 0.1	89.07 +/- 0.1	88.23 +/- 0.11	89.52 +/- 0.099	88.74 +/- 0.1	89.11 +/- 0.1	88.72 +/- 0.086
Cut4 :	88.71 +/- 0.1	88.88 +/- 0.1	88.03 +/- 0.11	89.33 +/- 0.1	88.54 +/- 0.1	88.91 +/- 0.1	88.55 +/- 0.087
Cut5 :	88.66 +/- 0.1	88.8 +/- 0.1	87.97 +/- 0.11	88.87 +/- 0.1	88.44 +/- 0.1	88.8 +/- 0.1	86.73 +/- 0.092
Cut6 :	88.16 +/- 0.1	88.47 +/- 0.1	87.82 +/- 0.11	88.12 +/- 0.1	87.69 +/- 0.11	88.01 +/- 0.1	73.17 +/- 0.12
Cut7 :	81.72 +/- 0.13	81.74 +/- 0.13	81.23 +/- 0.13	81.74 +/- 0.12	81.29 +/- 0.12	81.76 +/- 0.12	68.01 +/- 0.13
Cut8 :	81.55 +/- 0.13	81.59 +/- 0.13	81.07 +/- 0.13	81.54 +/- 0.13	81.12 +/- 0.13	81.61 +/- 0.12	67.92 +/- 0.13
Cut9 :	81.55 +/- 0.13	81.59 +/- 0.13	81.07 +/- 0.13	81.54 +/- 0.13	81.12 +/- 0.13	81.61 +/- 0.12	67.92 +/- 0.13
Cut10:	74 +/- 0.14	73.88 +/- 0.14	73.63 +/- 0.14	74.22 +/- 0.14	73.8 +/- 0.14	74.53 +/- 0.14	64.49 +/- 0.13

MC truth , with  $|z| \cos\theta_{miss}$

Eff. (%)	bb	cc	gg	tt	ww	zz	aa
Cut0 :	92.41 +/- 0.086	92.43 +/- 0.087	91.66 +/- 0.09	93.1 +/- 0.082	92.19 +/- 0.086	92.41 +/- 0.085	92.83 +/- 0.07
Cut1 :	92.41 +/- 0.086	92.43 +/- 0.087	91.66 +/- 0.09	93.1 +/- 0.082	92.19 +/- 0.086	92.41 +/- 0.085	92.83 +/- 0.07
Cut2 :	90.85 +/- 0.094	90.84 +/- 0.095	90.05 +/- 0.098	91.41 +/- 0.09	90.56 +/- 0.093	90.86 +/- 0.093	90.51 +/- 0.08
Cut3 :	88.92 +/- 0.1	89.07 +/- 0.1	88.23 +/- 0.11	89.52 +/- 0.099	88.74 +/- 0.1	89.11 +/- 0.1	88.72 +/- 0.086
Cut4 :	88.71 +/- 0.1	88.88 +/- 0.1	88.03 +/- 0.11	89.33 +/- 0.1	88.54 +/- 0.1	88.91 +/- 0.1	88.55 +/- 0.087
Cut5 :	88.66 +/- 0.1	88.8 +/- 0.1	87.97 +/- 0.11	88.87 +/- 0.1	88.44 +/- 0.1	88.8 +/- 0.1	86.73 +/- 0.092
Cut6 :	88.66 +/- 0.1	88.8 +/- 0.1	87.97 +/- 0.11	88.87 +/- 0.1	88.44 +/- 0.1	88.8 +/- 0.1	86.73 +/- 0.092
Cut7 :	82.09 +/- 0.12	82.01 +/- 0.13	81.35 +/- 0.13	82.25 +/- 0.12	81.93 +/- 0.12	82.32 +/- 0.12	80.3 +/- 0.11
Cut8 :	81.92 +/- 0.12	81.86 +/- 0.13	81.19 +/- 0.13	82.06 +/- 0.12	81.76 +/- 0.12	82.18 +/- 0.12	80.12 +/- 0.11
Cut9 :	81.92 +/- 0.12	81.86 +/- 0.13	81.19 +/- 0.13	82.06 +/- 0.12	81.76 +/- 0.12	82.18 +/- 0.12	80.12 +/- 0.11
Cut10:	74.35 +/- 0.14	74.11 +/- 0.14	73.74 +/- 0.14	74.63 +/- 0.14	74.38 +/- 0.14	75.01 +/- 0.14	72.98 +/- 0.12

MC Truth, no  $|z| \cos\theta_{miss}$

Process:  $ZH \rightarrow \mu^+ \mu^- H$   
Polarization:  $(e^-, e^+) = (-0.8, +0.3)$   
Cuts

```

Cut 0 :
Cut 1 : leptype==13
Cut 2 : Ptdl>10&&abs(Minv-91.18)<40&&Mrec>100&&Mrec<300
Cut 3 : Minv>73&&Minv<120
Cut 4 : Ptdl>10&&Ptdl<70
Cut 5 : (Ptsum<0||Ptsum>10)
Cut 6 : !(Evis-Elep1-Elep2-Ephotonmax)<10&&Ephotonmax>0&&abs(cosmis)>0.98
Cut 7 : abs(cosz) < 0.9
Cut 8 : Mrec>100&&Mrec<160

```

cut definition

If omit costhetamiss cut

- Bias on aa mode is greatly reduced by a factor of 10
- Remaining bias from Minv and Ptsum cut

# Efficiency of each Higgs decay mode (after each cut)

MC truth , with costhetamiss

Eff. (%)	bb	cc	gg	tt	ww	zz	aa
Cut0 :	87.86 +/- 0.11	87.72 +/- 0.11	87.02 +/- 0.11	88.21 +/- 0.1	87.91 +/- 0.11	87.98 +/- 0.1	88.84 +/- 0.083
Cut1 :	87.86 +/- 0.11	87.72 +/- 0.11	87.02 +/- 0.11	88.21 +/- 0.1	87.91 +/- 0.11	87.98 +/- 0.1	88.84 +/- 0.083
Cut2 :	86.23 +/- 0.12	86.12 +/- 0.11	85.33 +/- 0.11	86.45 +/- 0.11	86.3 +/- 0.11	86.24 +/- 0.11	86.06 +/- 0.091
Cut3 :	84.15 +/- 0.12	84.05 +/- 0.12	83.28 +/- 0.12	84.23 +/- 0.12	84.17 +/- 0.12	84.09 +/- 0.12	83.89 +/- 0.096
Cut4 :	84.05 +/- 0.12	83.96 +/- 0.12	83.2 +/- 0.12	84.13 +/- 0.12	84.06 +/- 0.12	83.99 +/- 0.12	83.8 +/- 0.097
Cut5 :	84 +/- 0.13	83.88 +/- 0.12	83.13 +/- 0.12	83.68 +/- 0.12	83.97 +/- 0.12	83.88 +/- 0.12	82.09 +/- 0.1
Cut6 :	83.51 +/- 0.13	83.54 +/- 0.12	82.95 +/- 0.12	83 +/- 0.12	83.19 +/- 0.12	83.13 +/- 0.12	70.04 +/- 0.12
Cut7 :	77.41 +/- 0.14	77.53 +/- 0.14	76.82 +/- 0.14	77.22 +/- 0.13	77.15 +/- 0.14	77.36 +/- 0.13	65.13 +/- 0.13
Cut8 :	77.22 +/- 0.14	77.3 +/- 0.14	76.56 +/- 0.14	77 +/- 0.14	76.93 +/- 0.14	77.11 +/- 0.13	64.97 +/- 0.13
Cut9 :	77.22 +/- 0.14	77.3 +/- 0.14	76.56 +/- 0.14	77 +/- 0.14	76.93 +/- 0.14	77.11 +/- 0.13	64.97 +/- 0.13
Cut10:	68.76 +/- 0.16	68.64 +/- 0.15	68.35 +/- 0.15	68.83 +/- 0.15	68.48 +/- 0.15	69 +/- 0.15	60.27 +/- 0.13

MC Truth, no costhetamis

Eff. (%)	bb	cc	gg	tt	ww	zz	aa
Cut0 :	87.86 +/- 0.11	87.72 +/- 0.11	87.02 +/- 0.11	88.21 +/- 0.1	87.91 +/- 0.11	87.98 +/- 0.1	88.84 +/- 0.083
Cut1 :	87.86 +/- 0.11	87.72 +/- 0.11	87.02 +/- 0.11	88.21 +/- 0.1	87.91 +/- 0.11	87.98 +/- 0.1	88.84 +/- 0.083
Cut2 :	86.23 +/- 0.12	86.12 +/- 0.11	85.33 +/- 0.11	86.45 +/- 0.11	86.3 +/- 0.11	86.24 +/- 0.11	86.06 +/- 0.091
Cut3 :	84.15 +/- 0.12	84.05 +/- 0.12	83.28 +/- 0.12	84.23 +/- 0.12	84.17 +/- 0.12	84.09 +/- 0.12	83.89 +/- 0.096
Cut4 :	84.05 +/- 0.12	83.96 +/- 0.12	83.2 +/- 0.12	84.13 +/- 0.12	84.06 +/- 0.12	83.99 +/- 0.12	83.8 +/- 0.097
Cut5 :	84 +/- 0.13	83.88 +/- 0.12	83.13 +/- 0.12	83.68 +/- 0.12	83.97 +/- 0.12	83.88 +/- 0.12	82.09 +/- 0.1
Cut6 :	84 +/- 0.13	83.88 +/- 0.12	83.13 +/- 0.12	83.68 +/- 0.12	83.97 +/- 0.12	83.88 +/- 0.12	82.09 +/- 0.1
Cut7 :	77.82 +/- 0.14	77.82 +/- 0.14	76.96 +/- 0.14	77.71 +/- 0.13	77.82 +/- 0.13	77.91 +/- 0.13	76.11 +/- 0.11
Cut8 :	77.62 +/- 0.14	77.59 +/- 0.14	76.71 +/- 0.14	77.49 +/- 0.13	77.6 +/- 0.14	77.67 +/- 0.13	75.87 +/- 0.11
Cut9 :	77.62 +/- 0.14	77.59 +/- 0.14	76.71 +/- 0.14	77.49 +/- 0.13	77.6 +/- 0.14	77.67 +/- 0.13	75.87 +/- 0.11
Cut10:	69.11 +/- 0.16	68.9 +/- 0.15	68.46 +/- 0.15	69.24 +/- 0.15	69.08 +/- 0.15	69.46 +/- 0.15	67.84 +/- 0.12

Process: ZH → e+ e- H  
Polarization: (e-,e+) = (-0.8,+0.3)

Cuts

```

Cut 0 :
Cut 1 : leptype==11
Cut 2 : Ptdl>10&&abs(Minv-91.18)<60&&Mrec>100&&Mrec<300
Cut 3 : Minv>73&&Minv<120
Cut 4 : Ptdl>10&&Ptcl<70
Cut 5 : (Ptsum<0||Ptsum>10)
Cut 6 : !((Evis-Elep1-Elep2-Ephotonmax)<10&&Ephotonmax>0&&abs(cosmis)>0.98)
Cut 7 : abs(cosz) < 0.9
Cut 8 : Mrec>100&&Mrec<160

```

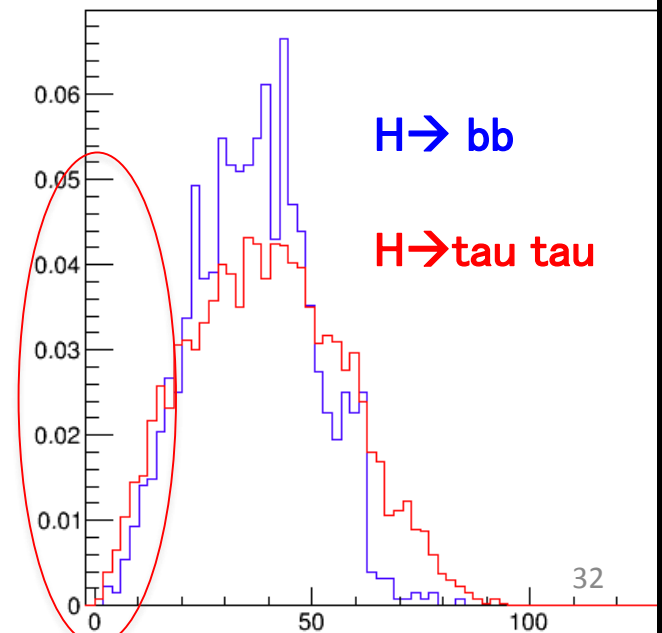
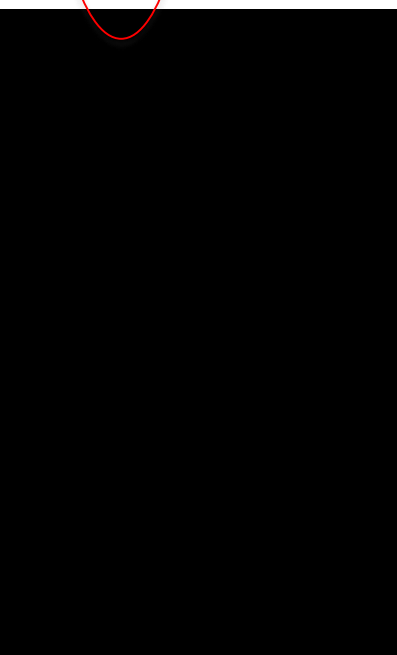
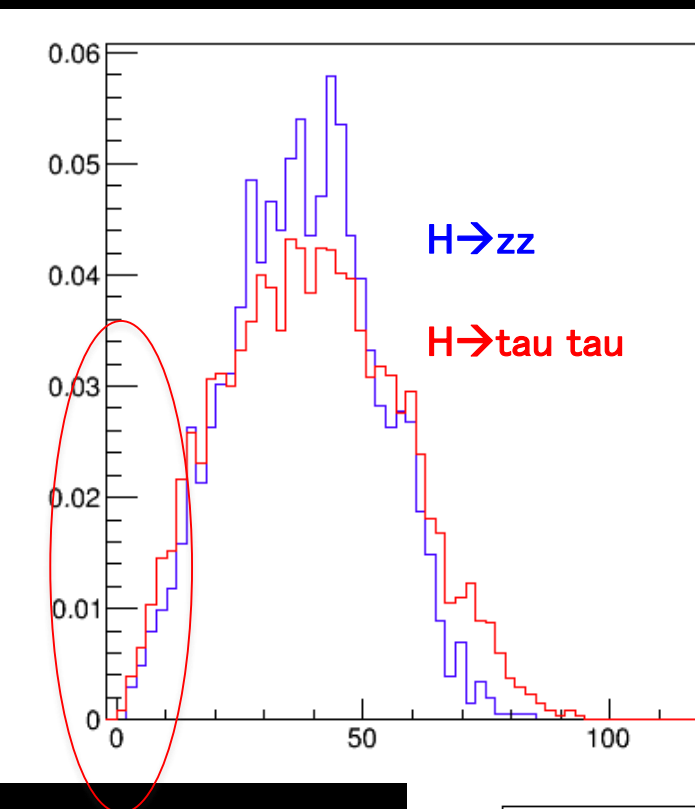
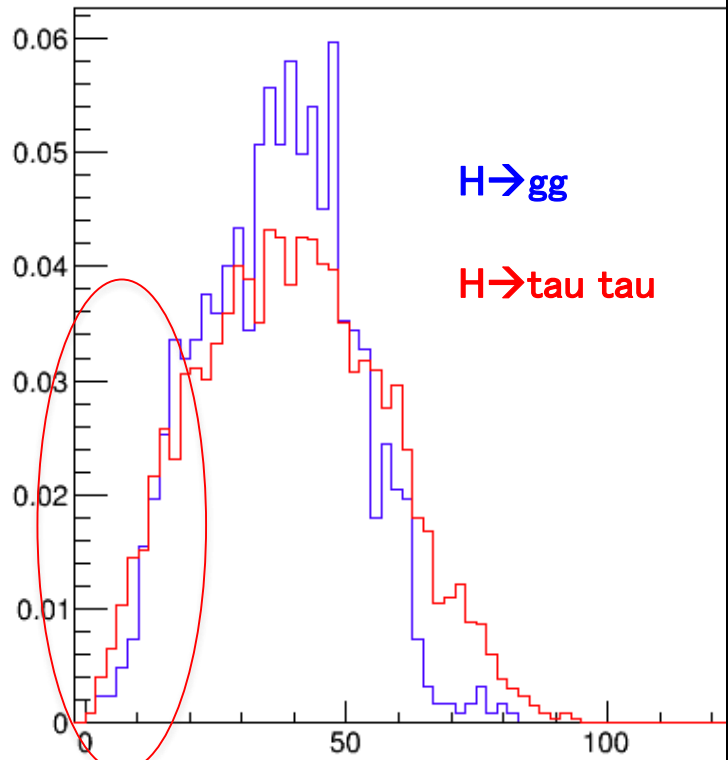
cut definition

If omit costhetamiss cut

- Bias on aa mode is greatly reduced by a factor of 10
- Remaining bias from Minv and Ptsum cut

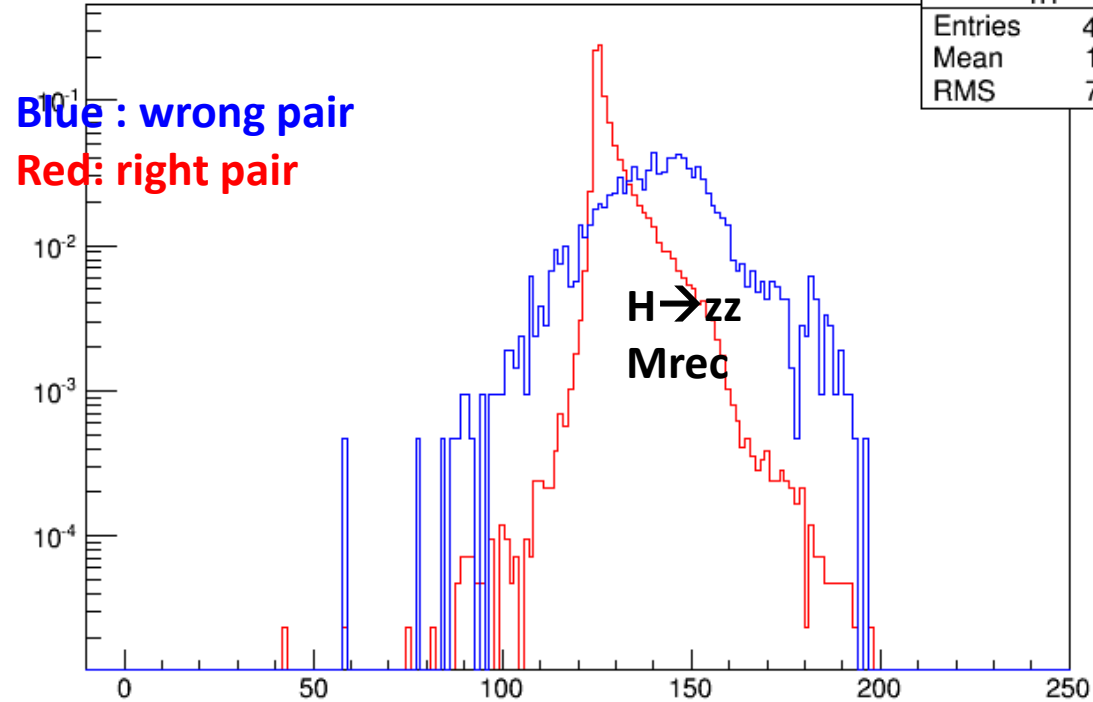
**observation of Ptsum distr  
(at stage just before Ptsum cut)  
Zmm channel**

Compare to other modes,  
 $H \rightarrow \tau\tau$  seem very slightly  
biased in region of  $Ptsum < 10$



$H \rightarrow zz$  mode

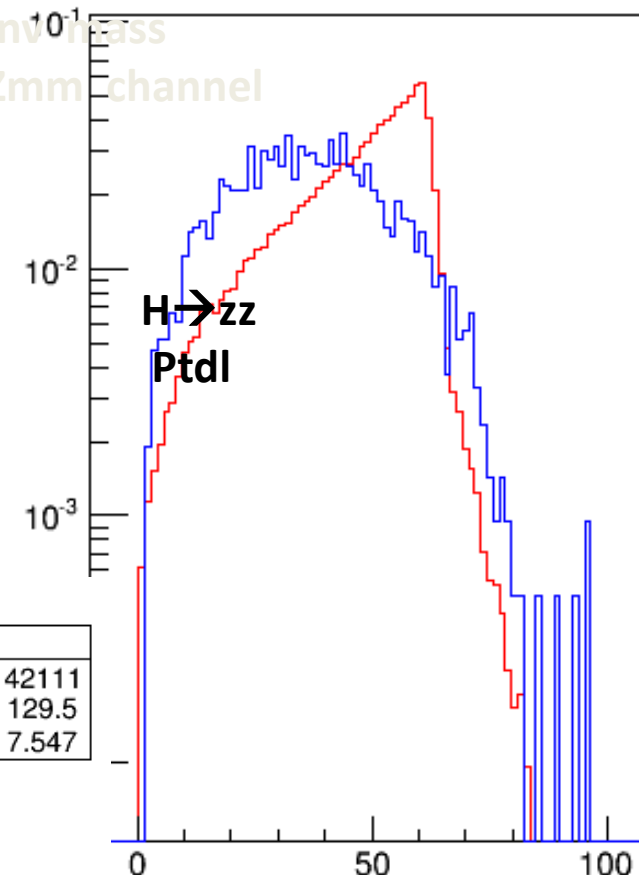
Events satisfy  $|M_{inv} - M_Z| < 40$  GeV

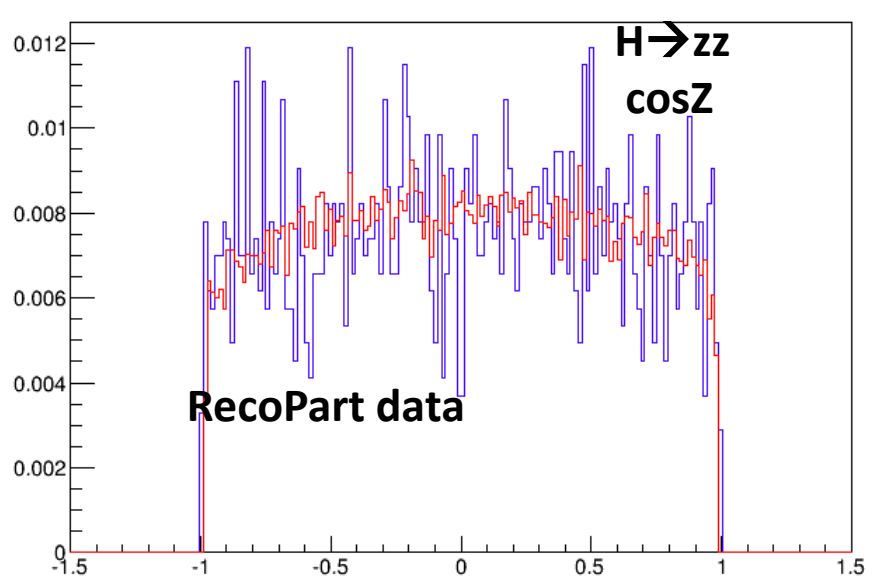


Invmass

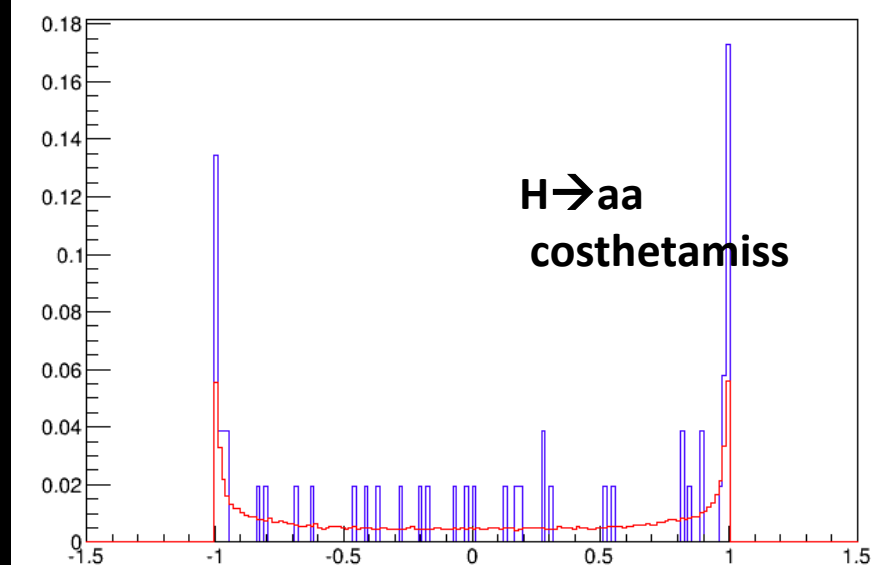
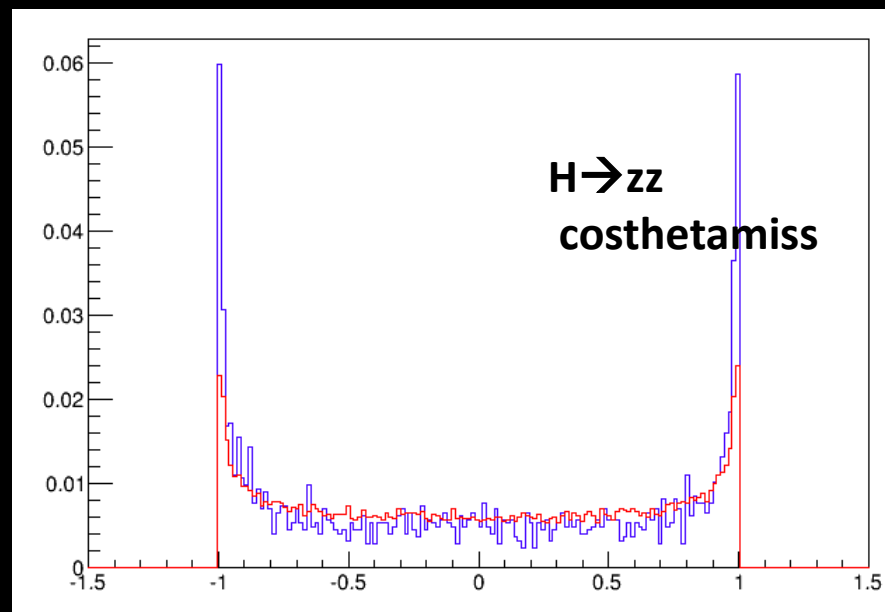
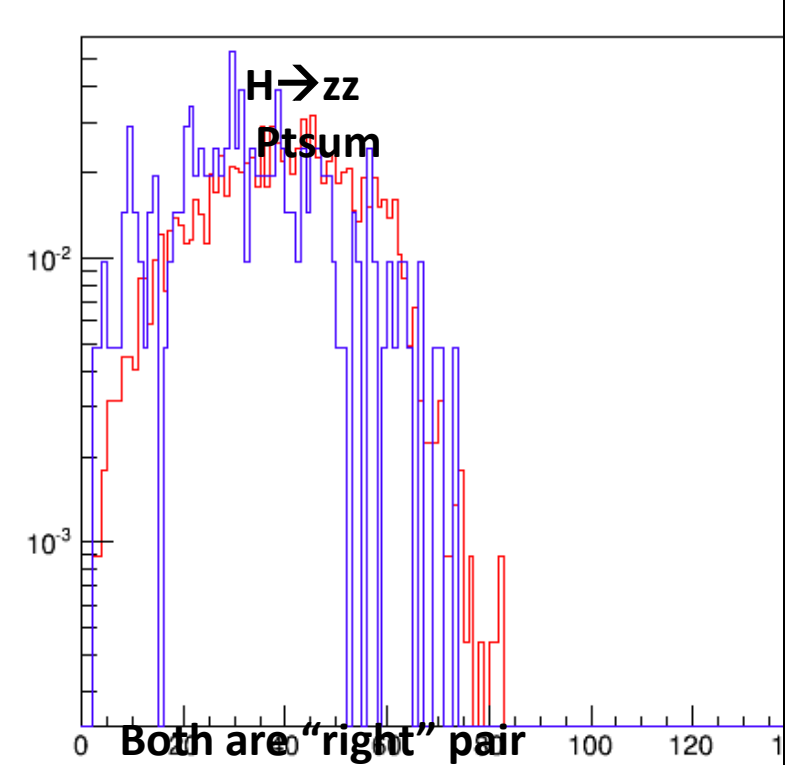
Zmm channel

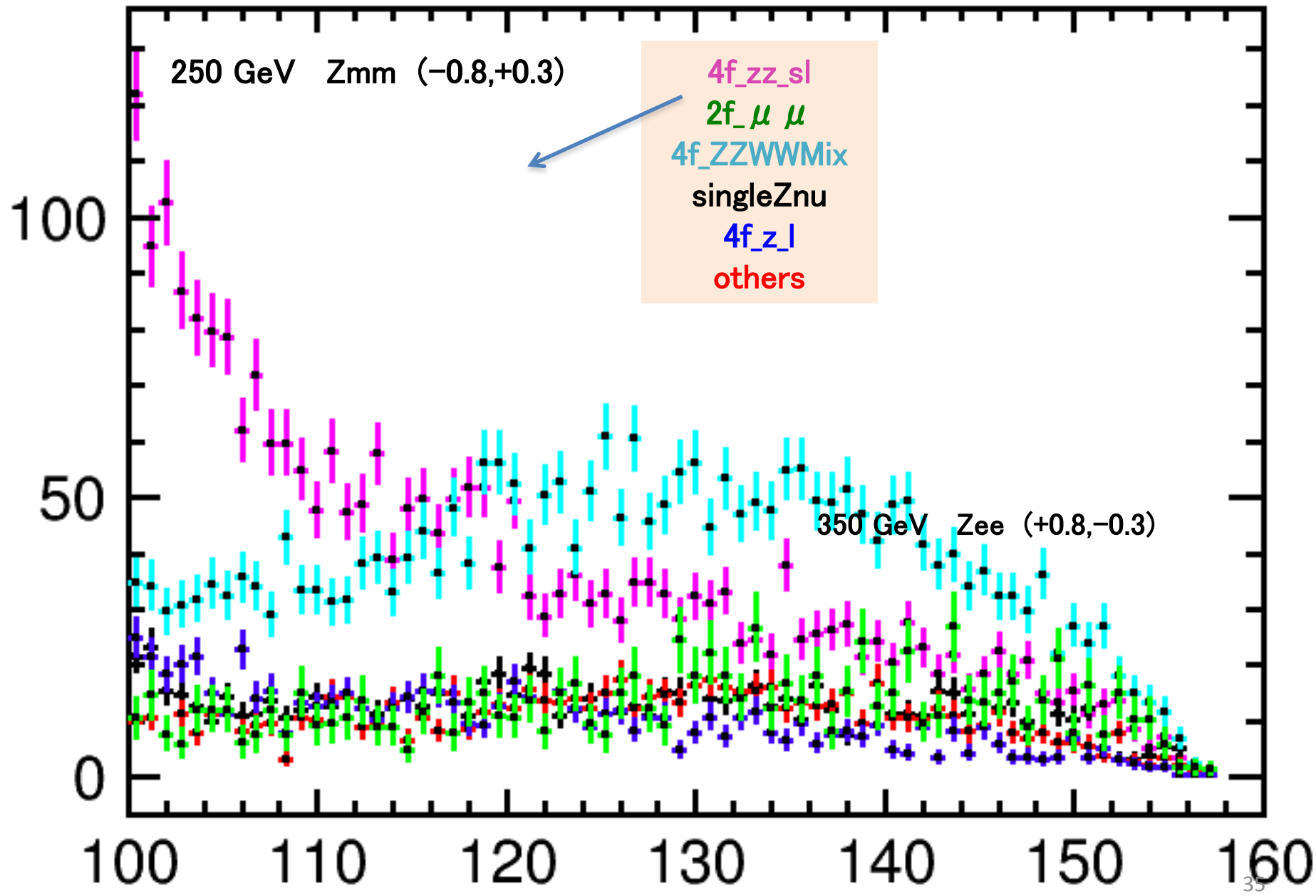
$H \rightarrow zz$   
Pt dl

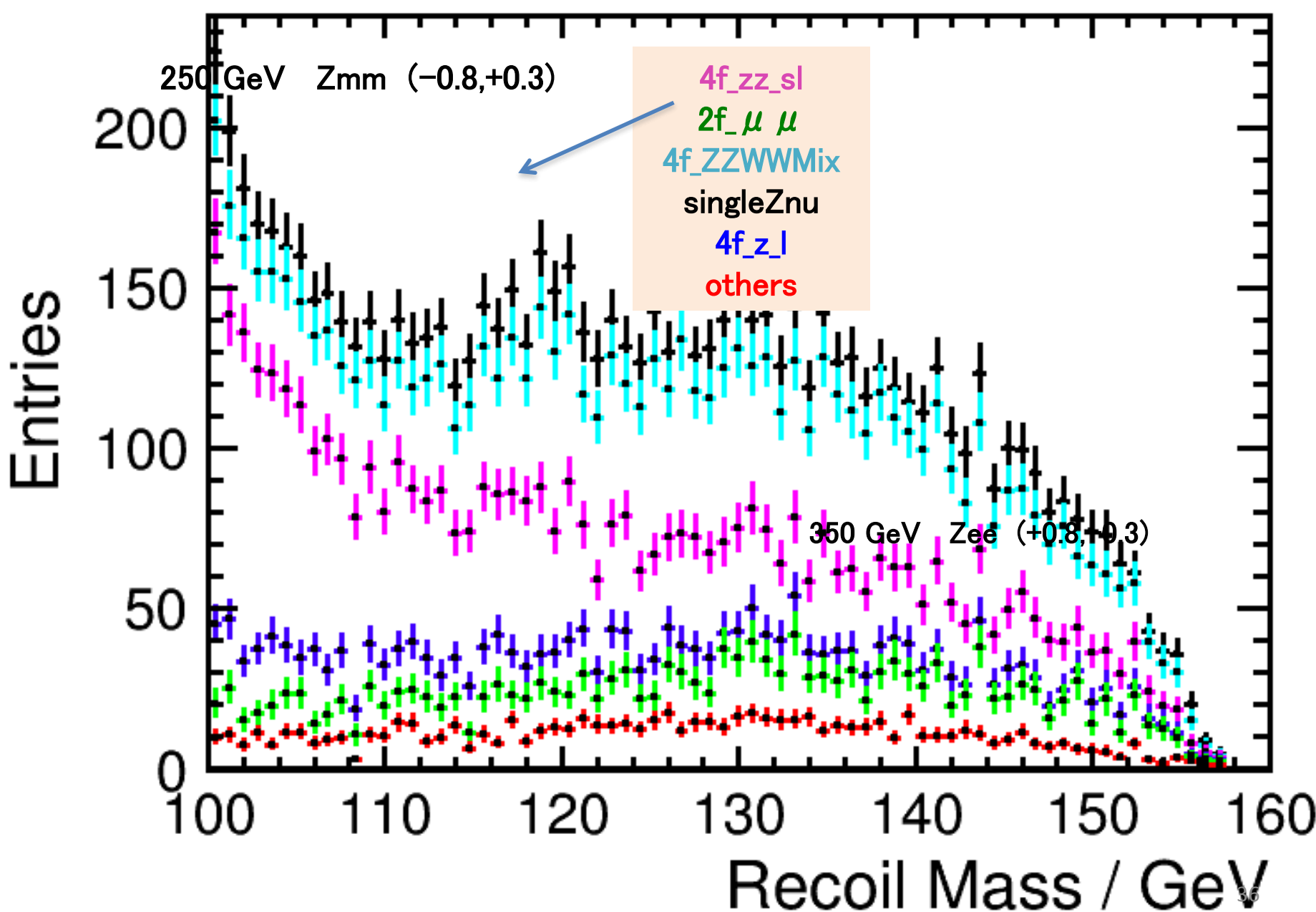




Blue : wrong pair  
Red: right pair







## **Pe2e2h\_.eL.pR      &      Pe2e2h\_.eR.pL**

- 4f\_ZZ\_leptonic
- 4f\_ZZ\_semileptonic
- 2f\_Z\_leptonic
- 4f\_WW\_leptonic
- 4f\_WW\_semileptonic
- 4fSingleZee\_leptonic
- 4fSingleZnunu\_leptonic
- 4f\_ZZWWMix\_leptonic
- 6f backgrounds (sqrt(s)=350 GeV)

note that difference from past studies maybe sue to:

- assumed L (350, 250 GeV) = (333 , 250 fb-1) vs RDR: (300 fb-1, 188 fb-1)
- this analysis include all 2f, 4f, 6f BGs (whizard generator) vs only WW, ZZ (pythia generator ?)